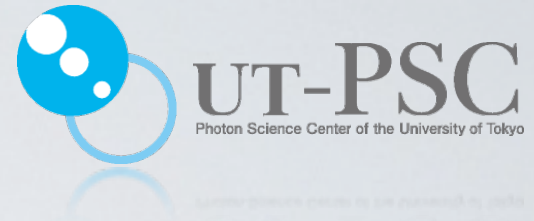




APSA
Advanced Photon Science Alliance
Advanced Photon Science Alliance



石川顕一

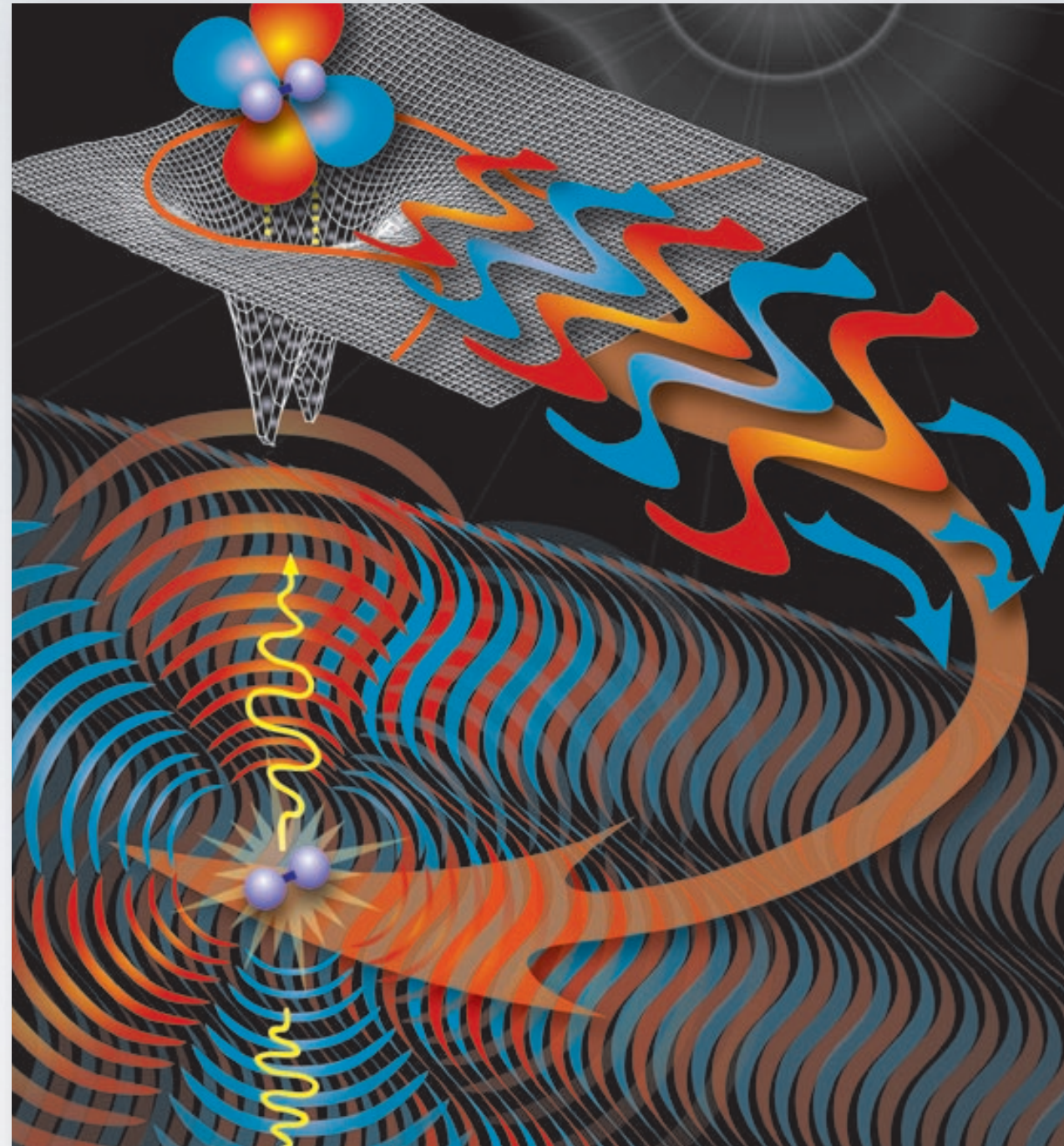
東京大学 大学院工学系研究科 光量子科学研究中心

ishiken@atto.t.u-tokyo.ac.jp <http://ishiken.free.fr/>

高強度場現象・アト秒科学（2）

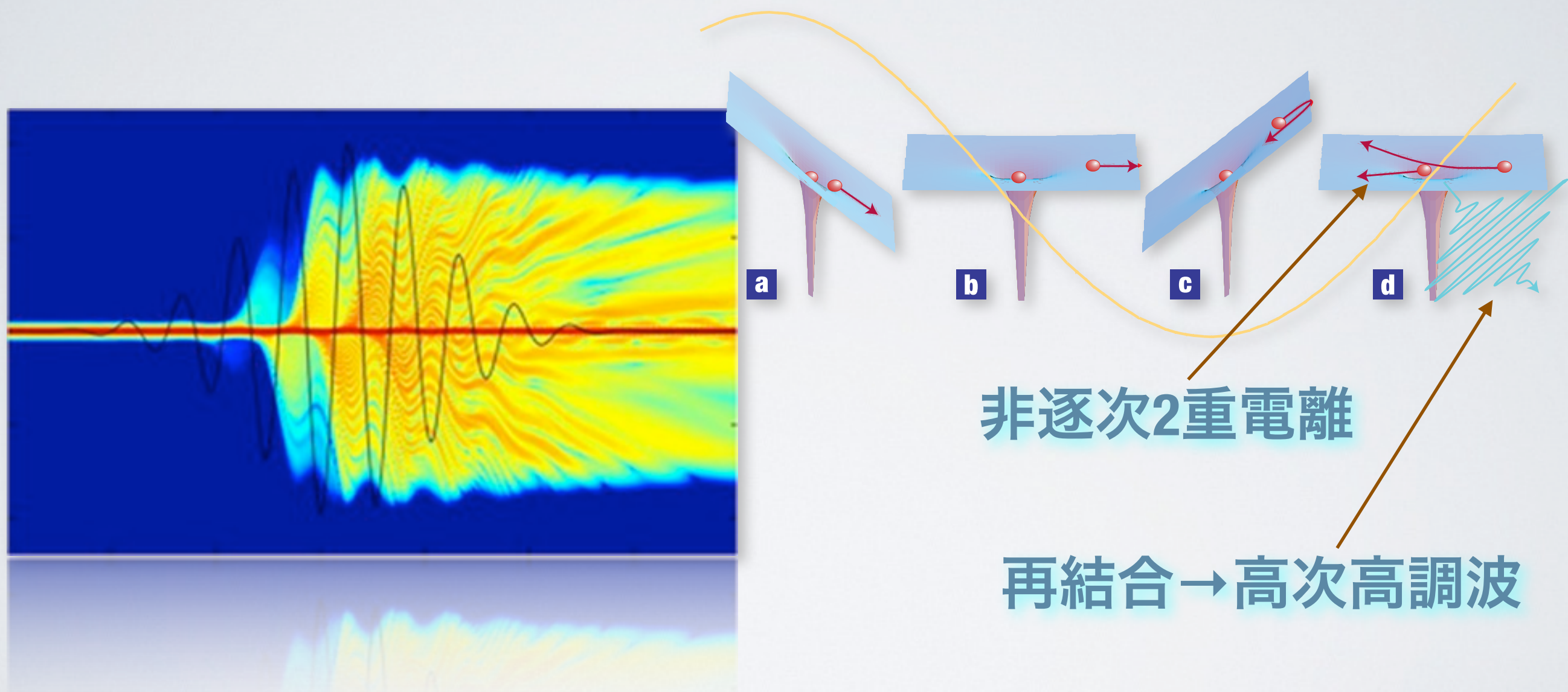
高次高調波発生とアト秒

パルス



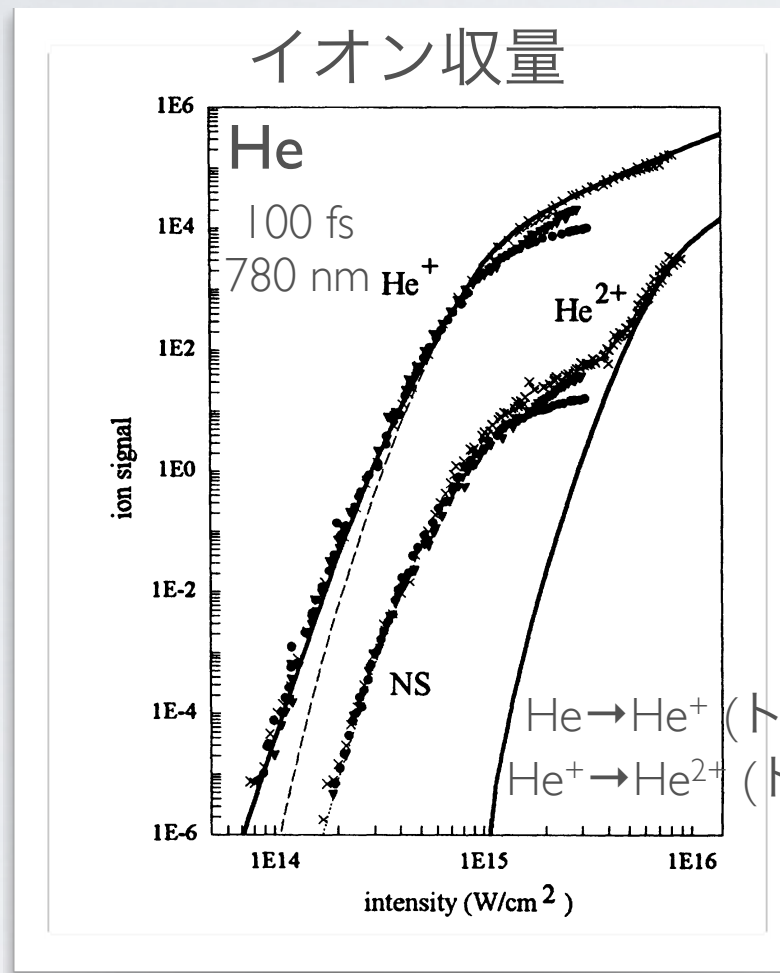
高次高調波発生とアト秒パルス

トンネル電離後の電子はどうなる？

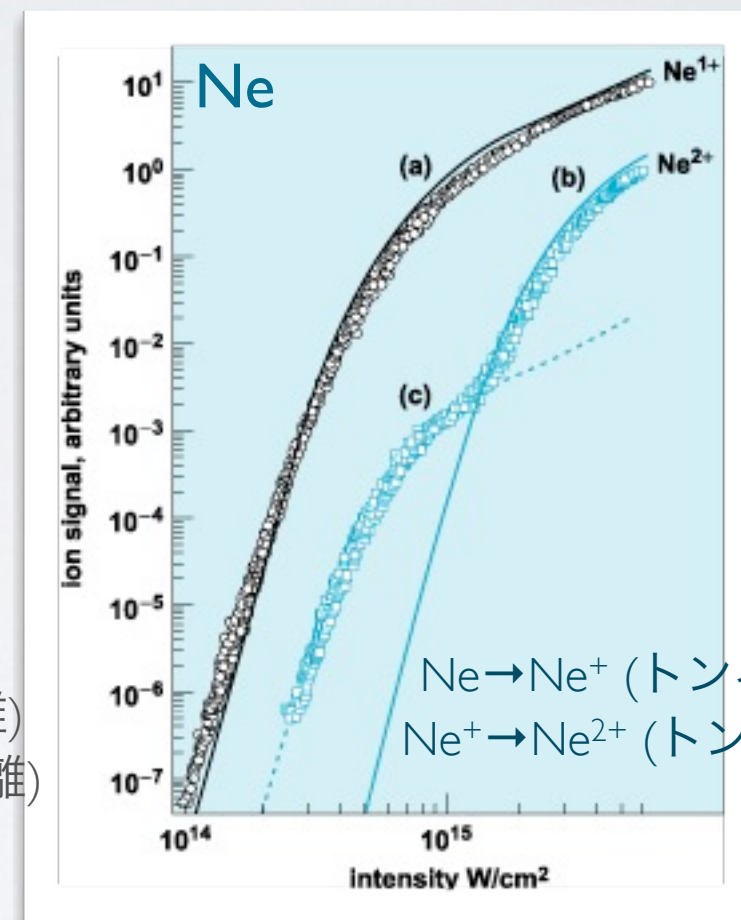


非逐次2重電離

Non-sequential double ionization (NSDI)



Walker et al., PRL 73, 1227 (1994)

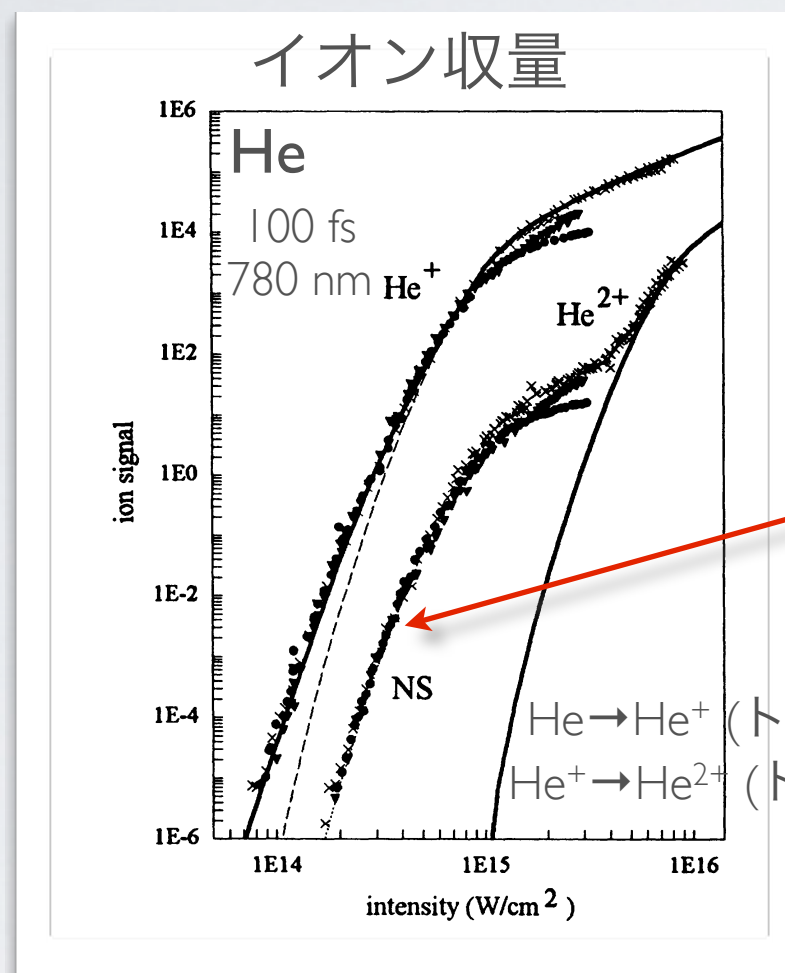


Dörner et al., Physik. Blätter, 57, 49 (2001)

- トンネル電離が順次起こるのでは説明できないkneeあるいはshoulderがある。

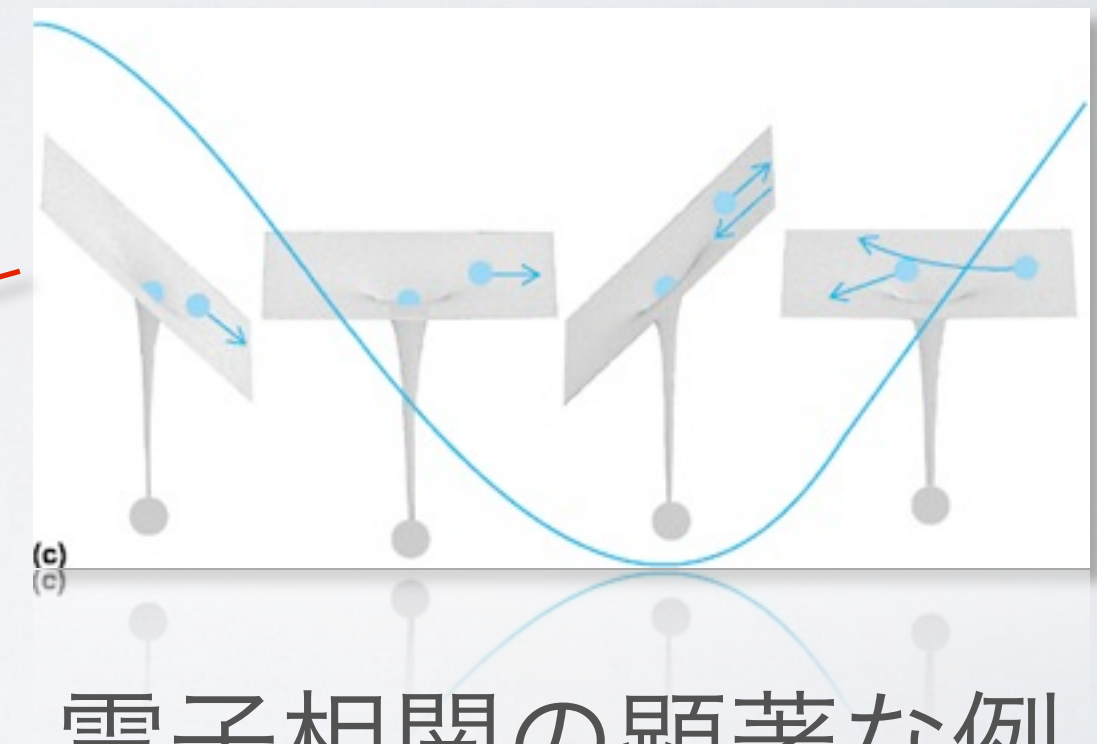
非逐次2重電離

Non-sequential double ionization (NSDI)



Walker et al., PRL 73, 1227 (1994)

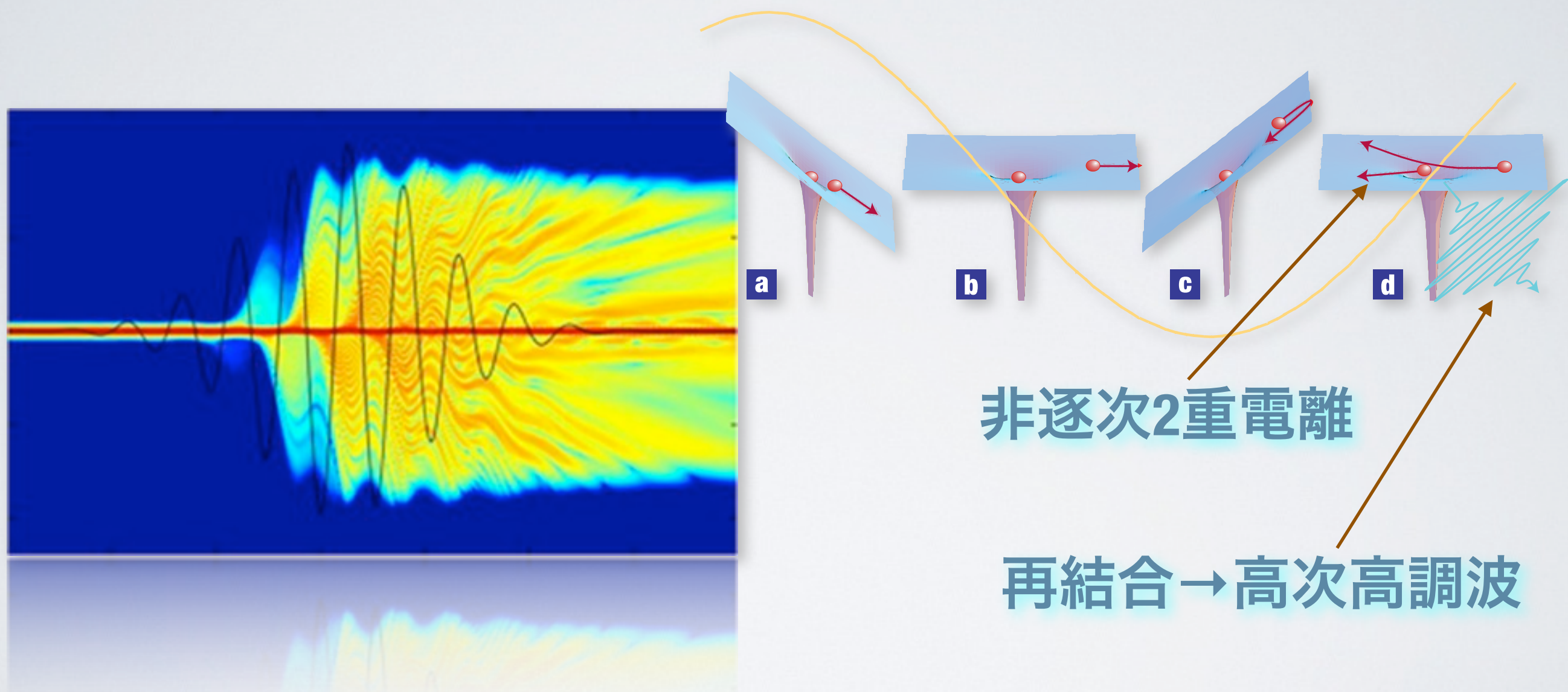
トンネル電子が再衝突する際に、親イオンをさらにイオン化



電子相関の顕著な例

- トンネル電離が順次起こるのでは説明できないkneeあるいはshoulderがある。

トンネル電離後の電子はどうなる？



高次高調波発生

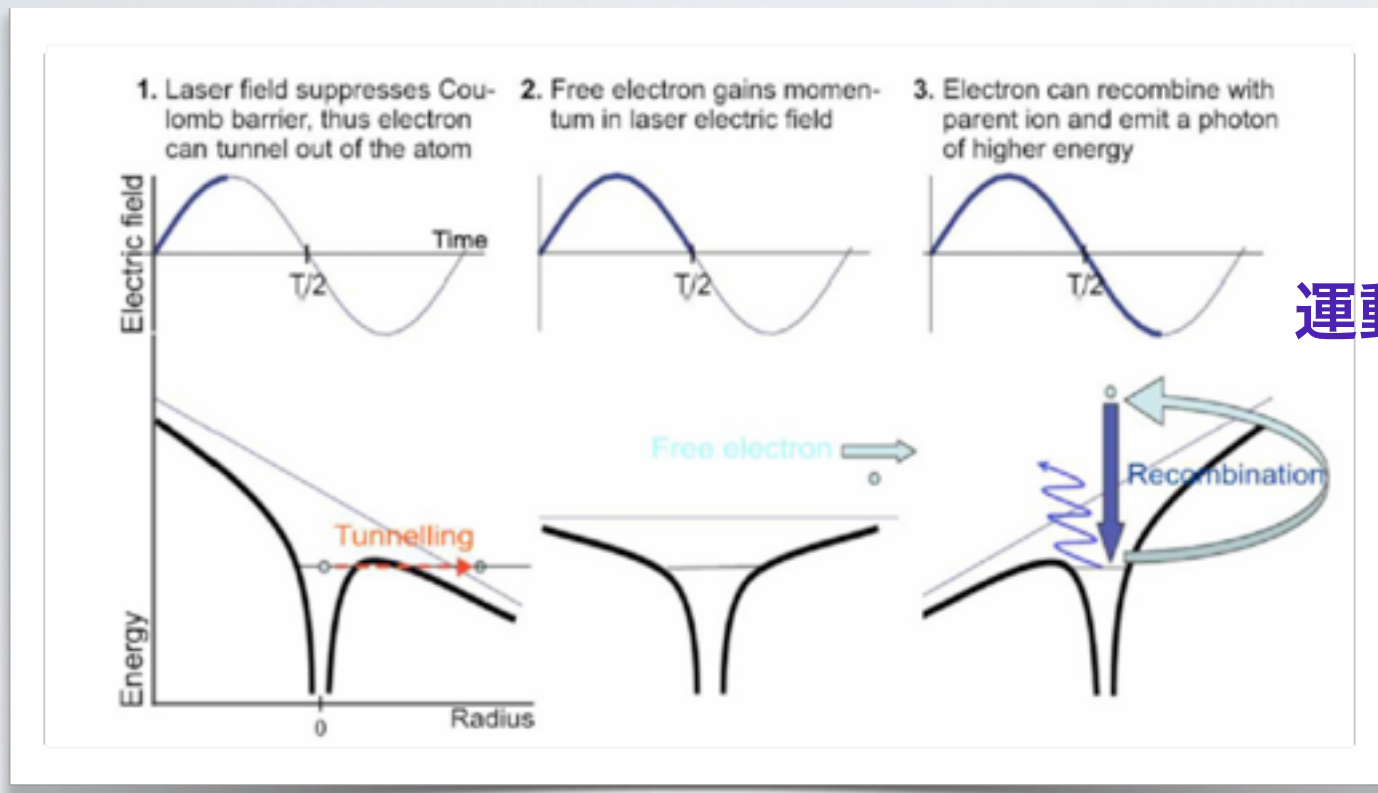
HIGH-HARMONIC GENERATION (HHG)

discovered in 1987

再結合の際に

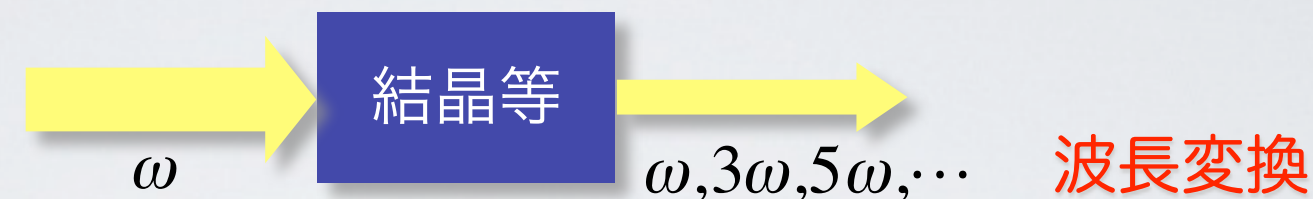
運動エネルギー + イオン化ポテンシャル

のエネルギーの光子を放出



XUV = extreme ultraviolet (極端紫外)

高調波発生



非線形光学効果

物質の応答が、入射光強度に非線形に依存

$$D = \epsilon_0 E + P$$

$$P = \epsilon_0 [\chi^{(1)} E + \chi^{(2)} E^2 + \chi^{(3)} E^3 + \dots]$$

\\ 非線形分極 (nonlinear)
線形分極 linear polarization

反転対称な媒質では、 $\chi^{(2)} = 0$

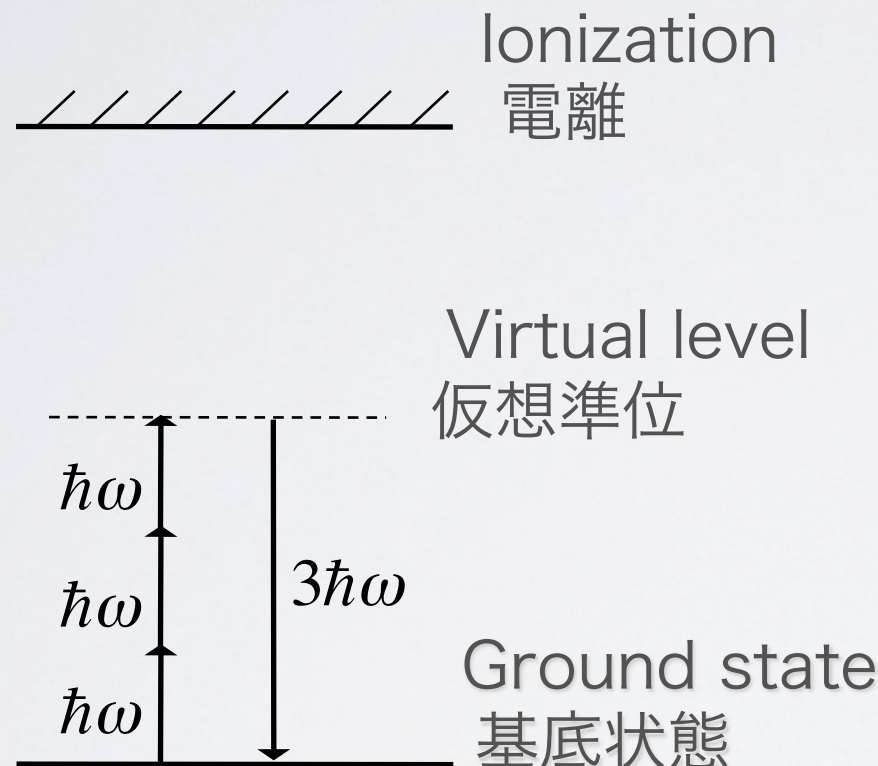
$$\nabla \times \nabla \times \mathbf{E} = -\mu_0 \frac{\partial^2 \mathbf{D}}{\partial t^2}$$

3ω : 3 次高調波 (3rd harmonic)

5ω : 5 次高調波 (5th harmonic)

摂動論的高調波発生

3次高調波発生の概念図



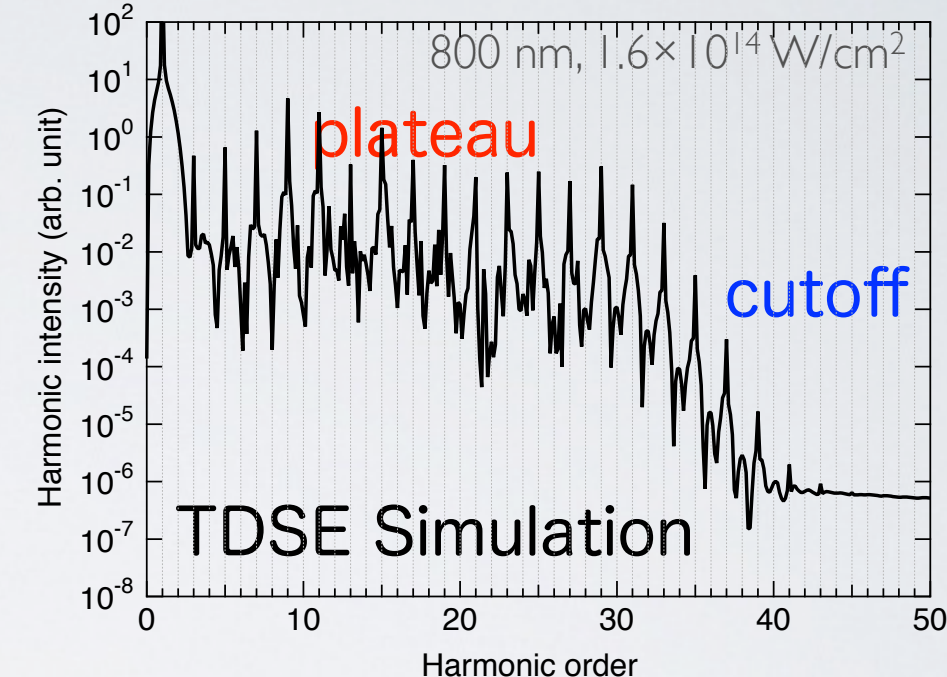
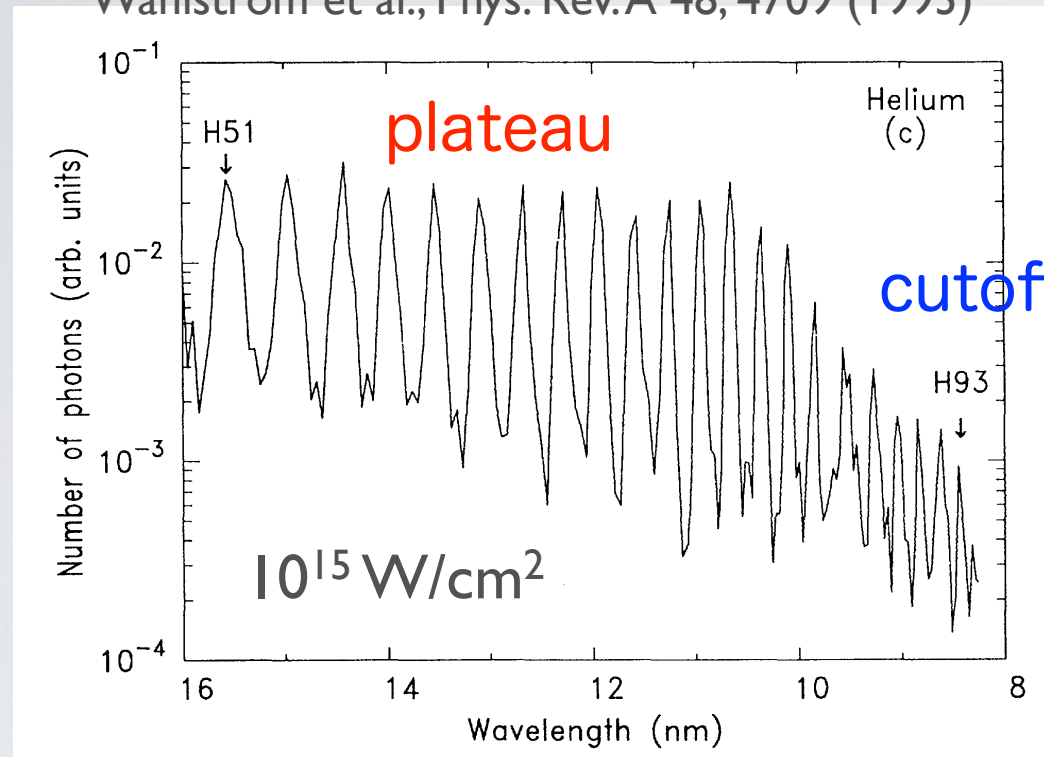
遷移行列要素

$$\begin{aligned} M_{\text{THG}} = & \sum_{h,i,f} \left\{ \frac{\epsilon_3 \cdot \mathbf{D}_{1h} \epsilon_1 \cdot \mathbf{D}_{hi} \epsilon_1 \cdot \mathbf{D}_{ij} \epsilon_1 \cdot \mathbf{D}_{j1}}{(3\omega_1 - \omega_h)(2\omega_1 - \omega_i)(\omega_1 - \omega_j)} \right. \\ & + \frac{\epsilon_1 \cdot \mathbf{D}_{1h} \epsilon_3 \cdot \mathbf{D}_{hi} \epsilon_1 \cdot \mathbf{D}_{ij} \epsilon_1 \cdot \mathbf{D}_{j1}}{(-\omega_1 - \omega_h)(2\omega_1 - \omega_i)(\omega_1 - \omega_j)} \\ & + \frac{\epsilon_1 \cdot \mathbf{D}_{1h} \epsilon_1 \cdot \mathbf{D}_{hi} \epsilon_3 \cdot \mathbf{D}_{ij} \epsilon_1 \cdot \mathbf{D}_{j1}}{(-\omega_1 - \omega_h)(-2\omega_1 - \omega_i)(-\omega_1 - \omega_j)} \\ & \left. + \frac{\epsilon_1 \cdot \mathbf{D}_{1h} \epsilon_1 \cdot \mathbf{D}_{hi} \epsilon_1 \cdot \mathbf{D}_{ij} \epsilon_3 \cdot \mathbf{D}_{j1}}{(-\omega_1 - \omega_h)(-2\omega_1 - \omega_i)(-3\omega_1 - \omega_j)} \right\} \end{aligned}$$

次数が高くなるほど、発生効率は減少。

プラトーとカットオフ

Wahlström et al., Phys. Rev. A 48, 4709 (1993)



プラトー(plateau) : Efficiency does NOT decrease with increasing harmonic order. 次数が上がっても強度が落ちない。

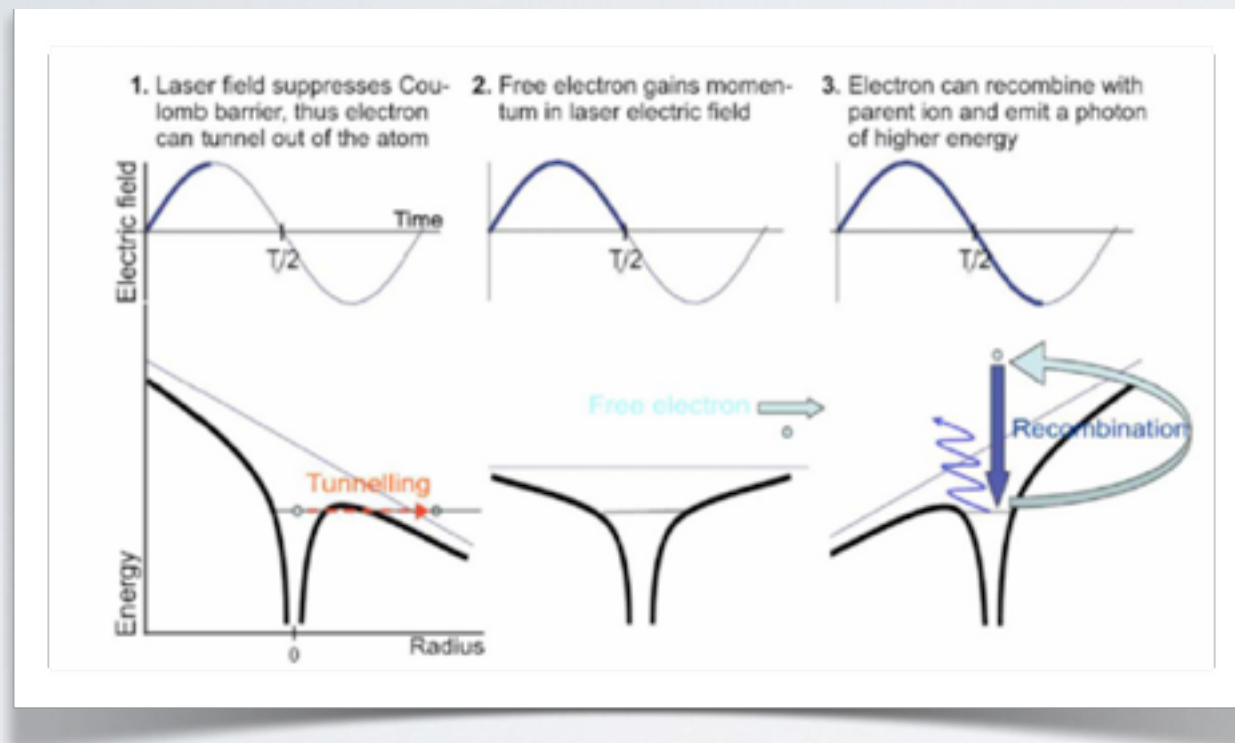
カットオフ(cutoff) : Maximum energy of harmonic photons

$$E_c \approx I_p + 3.17U_p \quad U_p(\text{eV}) = \frac{e^2 E_0^2}{4m\omega^2} = 9.3 \times 10^{-14} I(\text{W/cm}^2) \lambda^2(\mu\text{m})$$

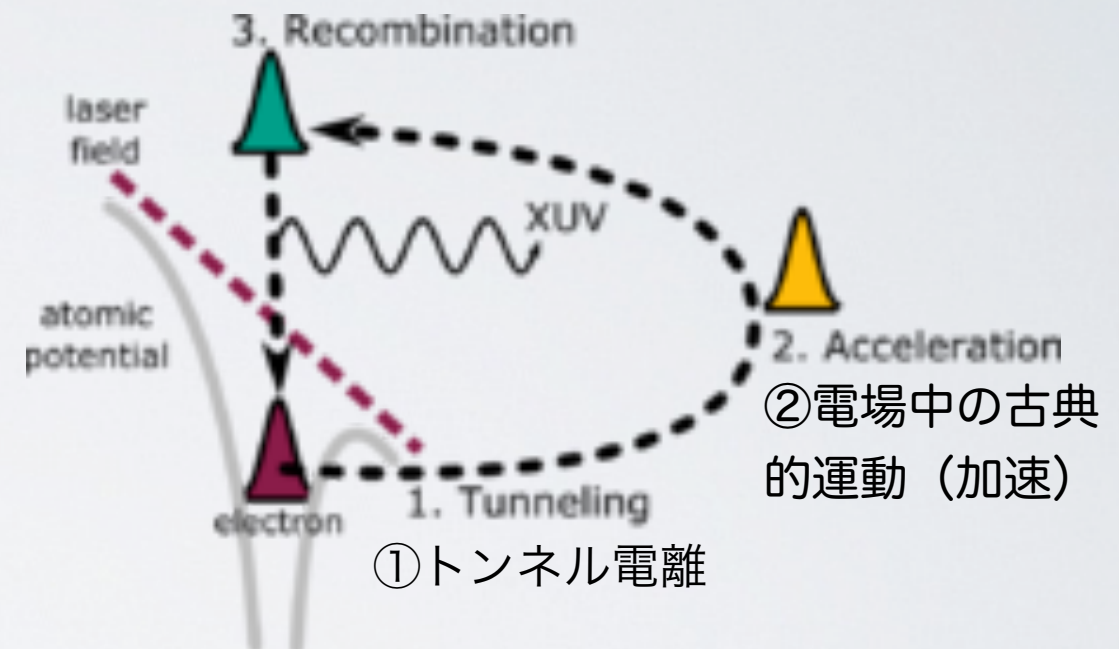
ポンデロモーティブエネルギー

- 摂動論的には解釈できない

高次高調波発生のメカニズム 3ステップモデル

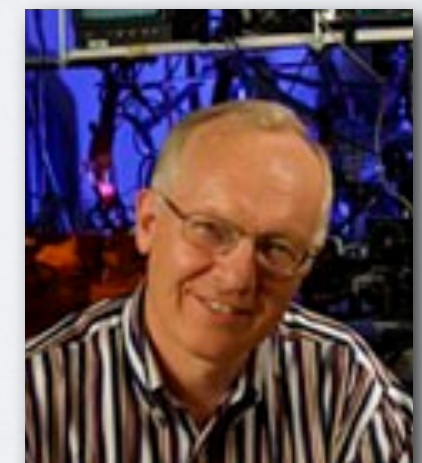


③再結合→発光（高次高調波）



Paul B. Corkum, Phys. Rev. Lett. 71, 1994 (1993)

K. C. Kulander et al., in *Super-Intense Laser-Atom Physics*, NATO ASI Ser. B, Vol. 316, p. 95 (1993)



Paul B. Corkum

高次高調波発生の3ステップモデル

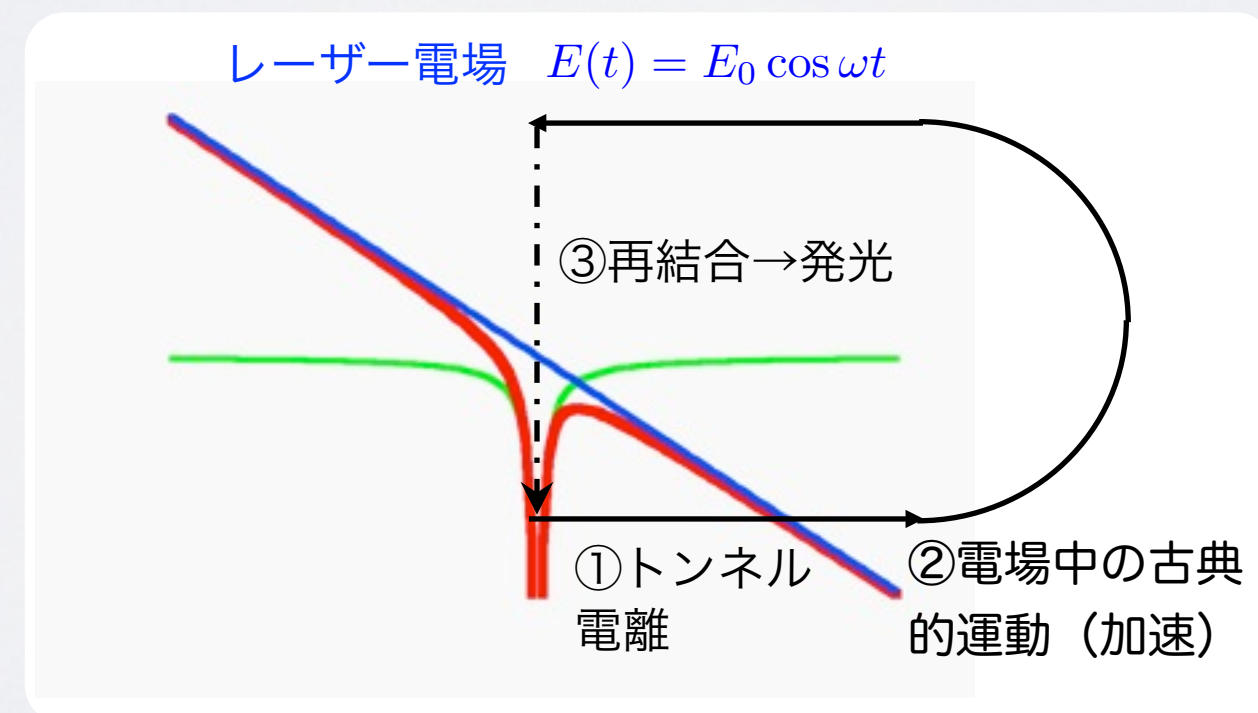
時刻 t_0 でイオン化。原点に初速ゼロで出現

$$m\ddot{z} = -eE_0 \cos \omega t \quad \dot{z}(t_0) = 0 \quad z(t_0) = 0$$

規格化 $\phi = \omega t \quad \phi_0 = \omega t_0$

$$z = \frac{E_0}{\omega^2} [(\cos \phi - \cos \phi_0) + (\phi - \phi_0) \sin \phi_0] \quad E_{\text{kin}} = 2U_p(\sin \phi - \sin \phi_0)^2$$

再衝突 $z = 0$ となる $\phi = \phi_{\text{ret}}(\phi_0)$



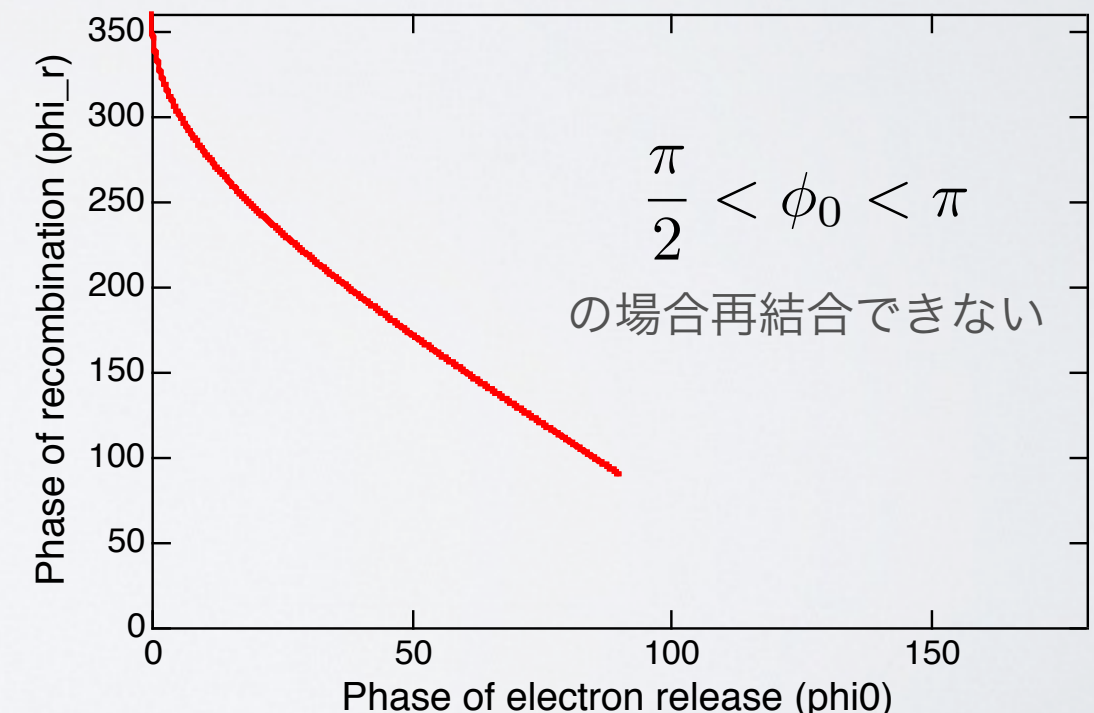
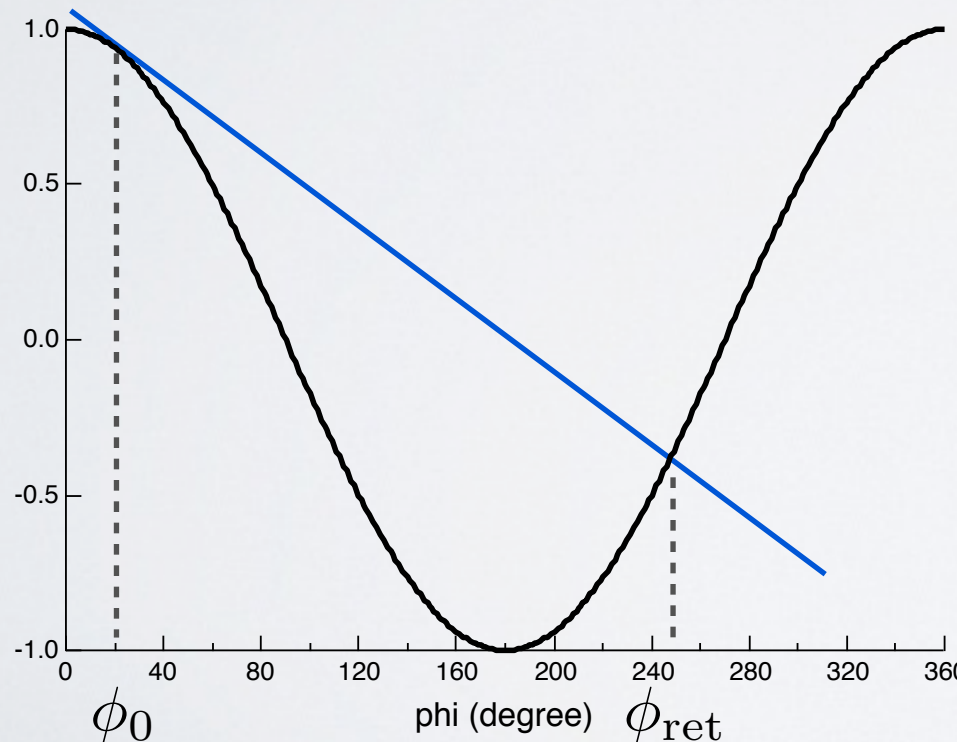
再衝突時刻

$$z = 0 \longrightarrow$$

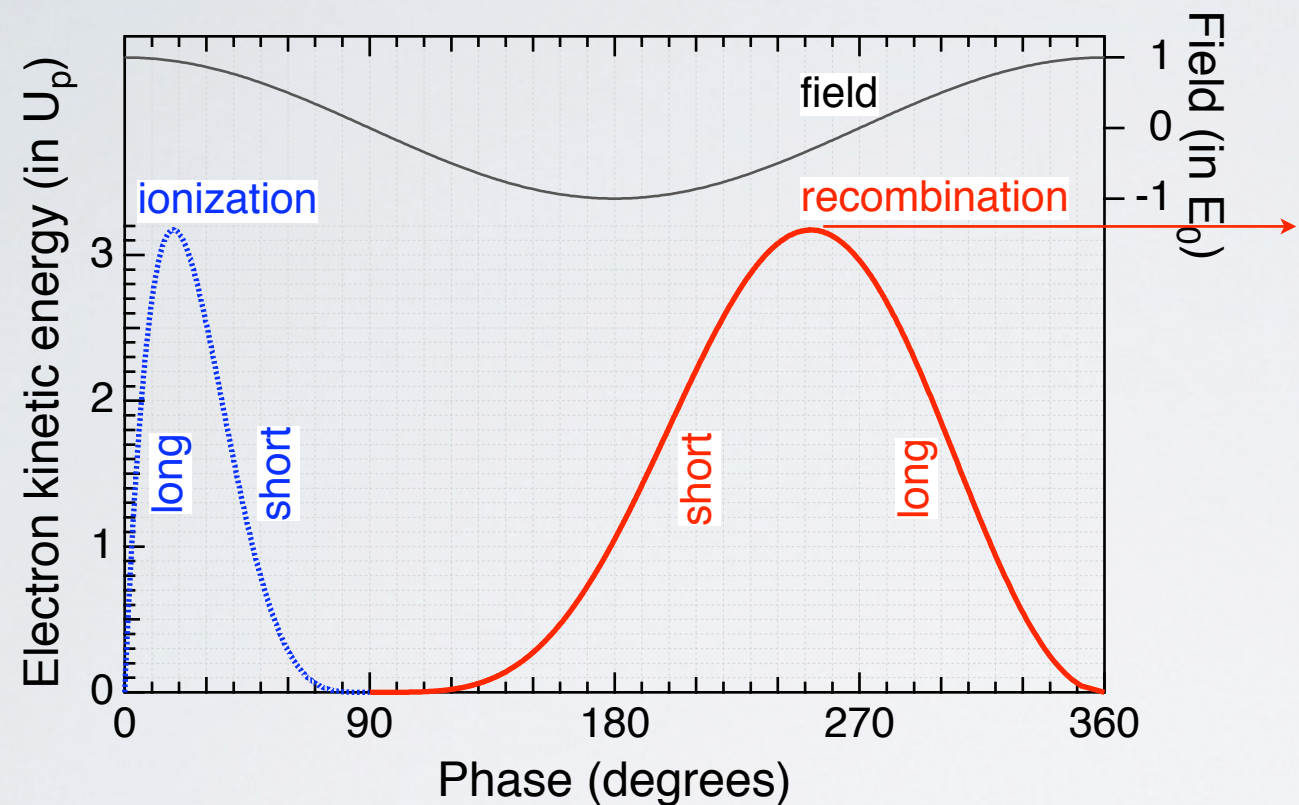
$$(\cos \phi_{\text{ret}} - \cos \phi_0) + (\phi_{\text{ret}} - \phi_0) \sin \phi_0 = 0$$

$$(\cos \phi)'|_{\phi_0} = \frac{\cos \phi_{\text{ret}} - \cos \phi_0}{\phi_{\text{ret}} - \phi_0}$$

イオン化時刻と再衝突時刻の関係



カットオフ則のシンプルな説明



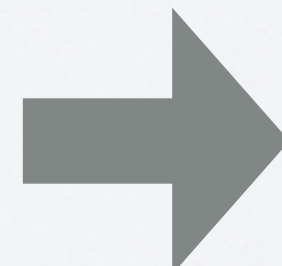
再結合時の運動エネルギーの最大値

$$3.17U_p$$

カットオフ

$$E_c = I_p + 3.17U_p$$

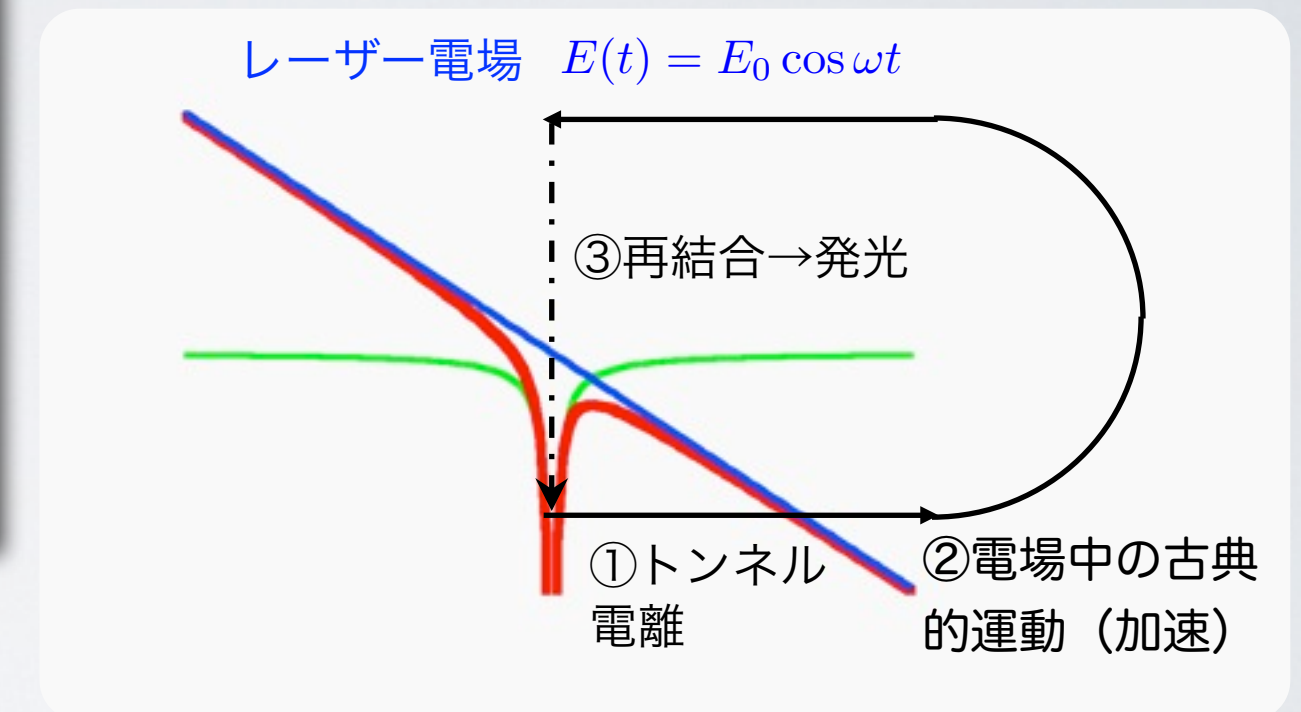
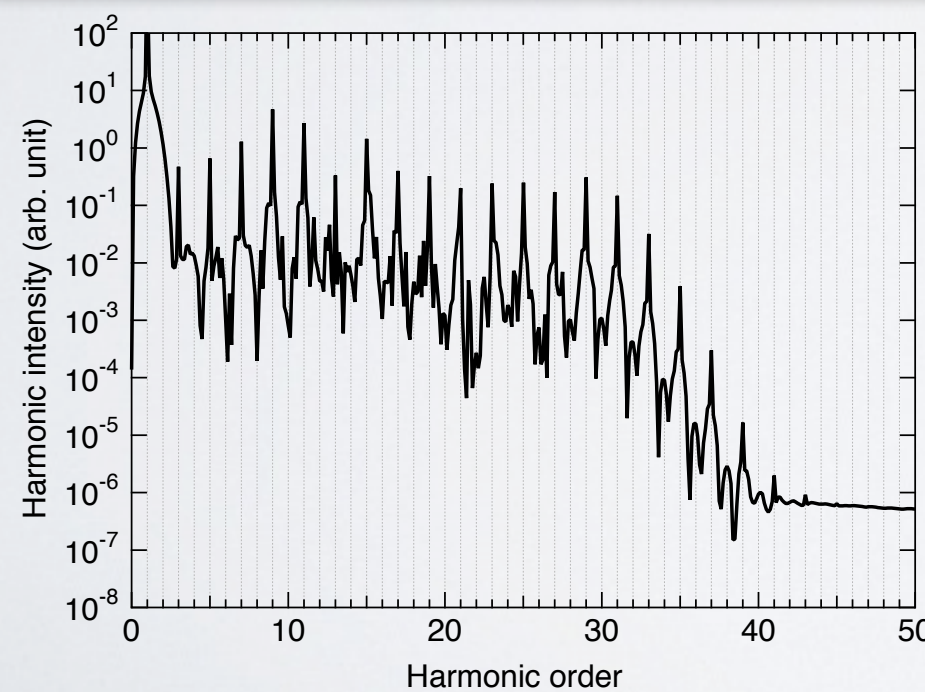
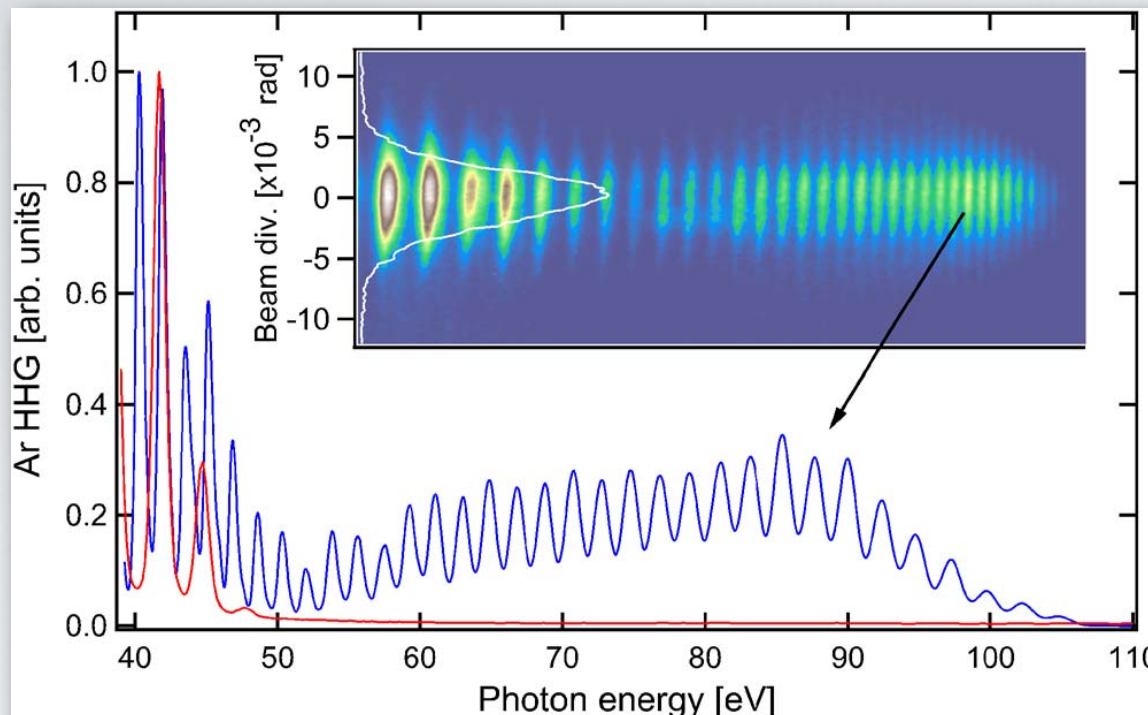
同じ高調波次数（光子エネルギー）に
対応するイオン化時刻と再結合時刻の
ペアは2つある。



short trajectory
long trajectory

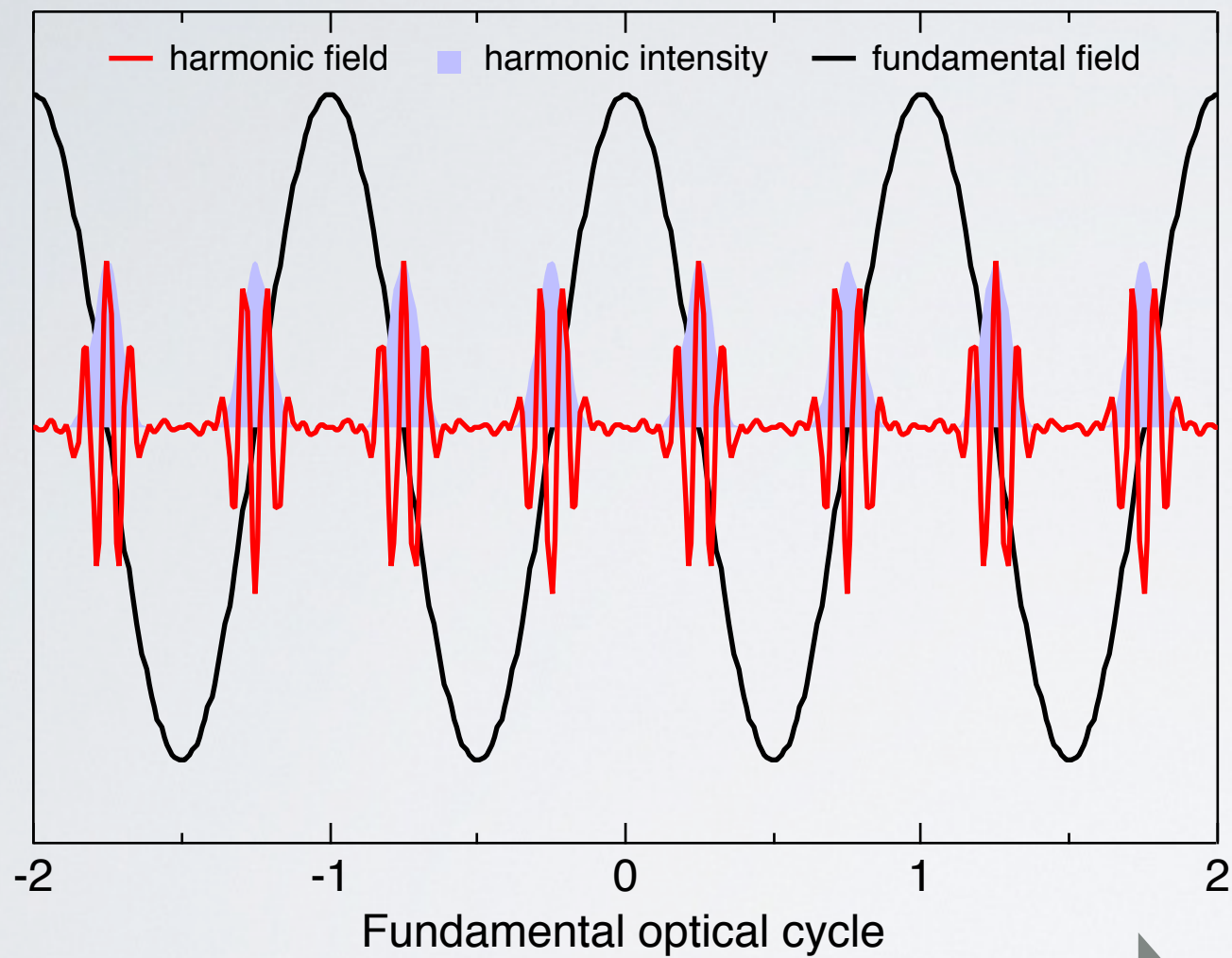
なぜ、高次高調波スペクトルは離散的なのか？

Takahashi et al., Appl. Phys. Lett. 93, 041111 (2008)

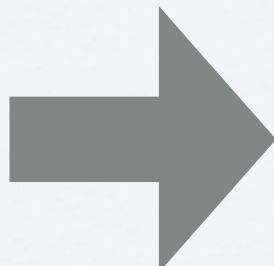


トンネル電離と高調波の発生は、レーザーの半周期ごとに起こる。

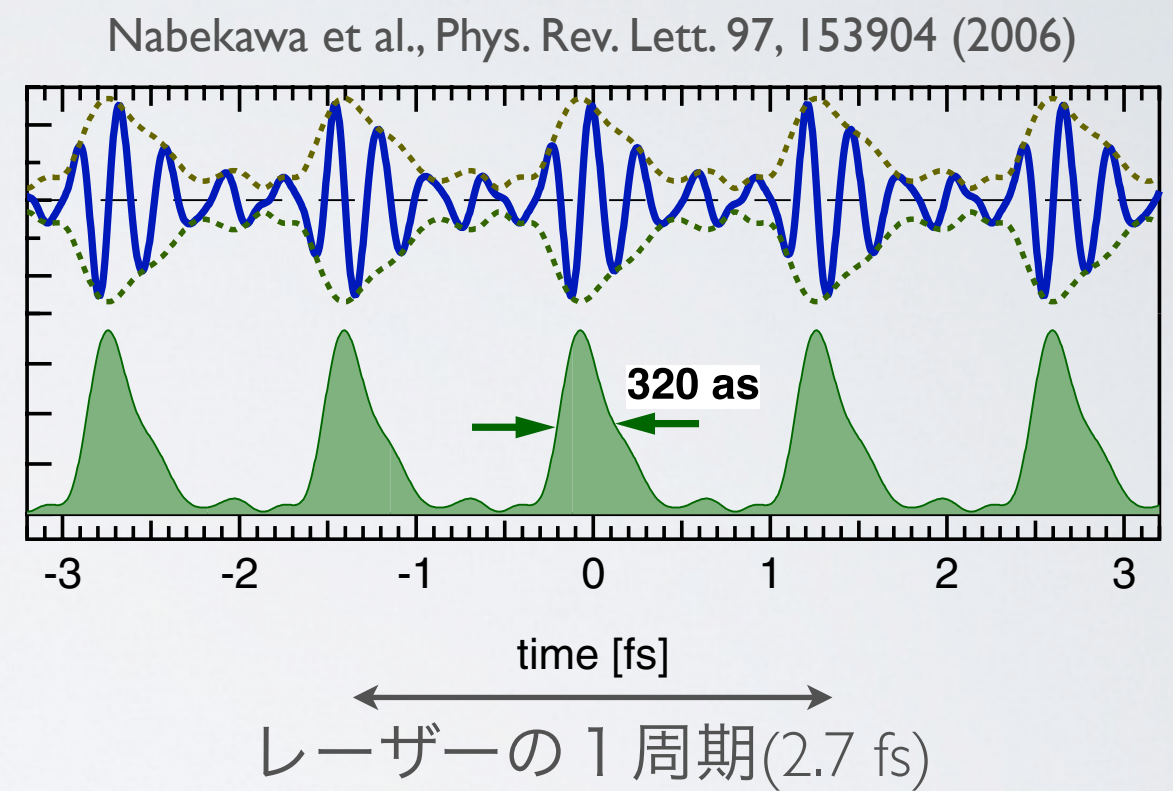
高調波の電場波形の概念図



$$f(t) = -f(t - \pi/\omega_0)$$



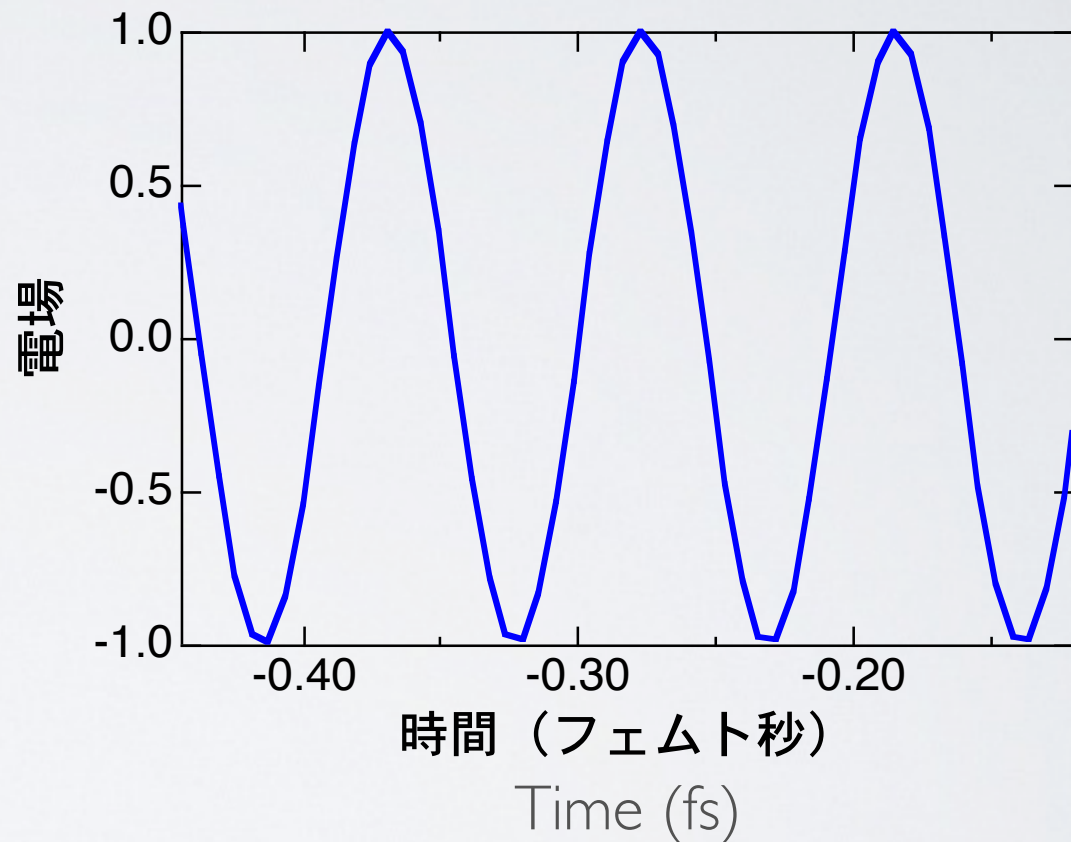
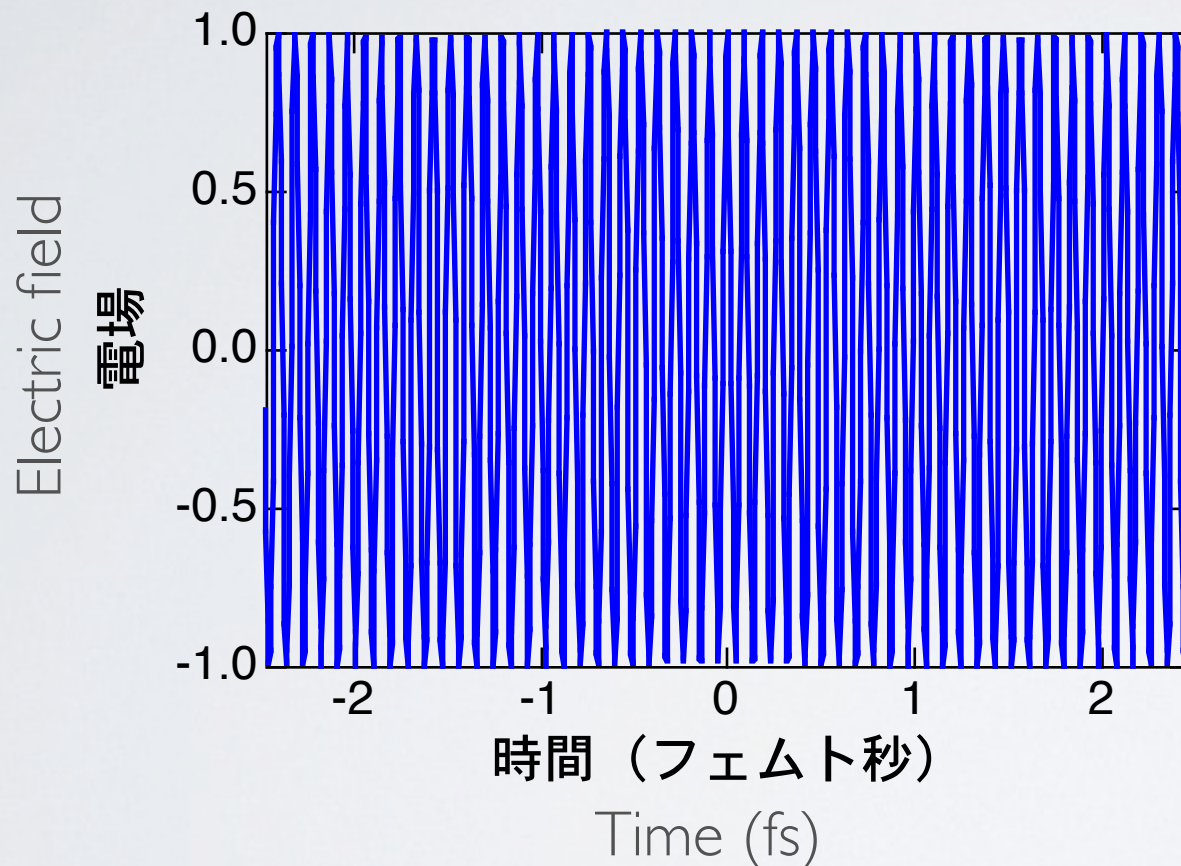
実験的にも観測されている



基本波の奇数倍の周波数成分のみを含む。

1つの次数のみが存在するときの光電界

$$E_h(t) = E_q \cos(q\omega + \phi_q) = E_{2n+1} \cos[(2n+1)\omega + \phi_{2n+1}]$$

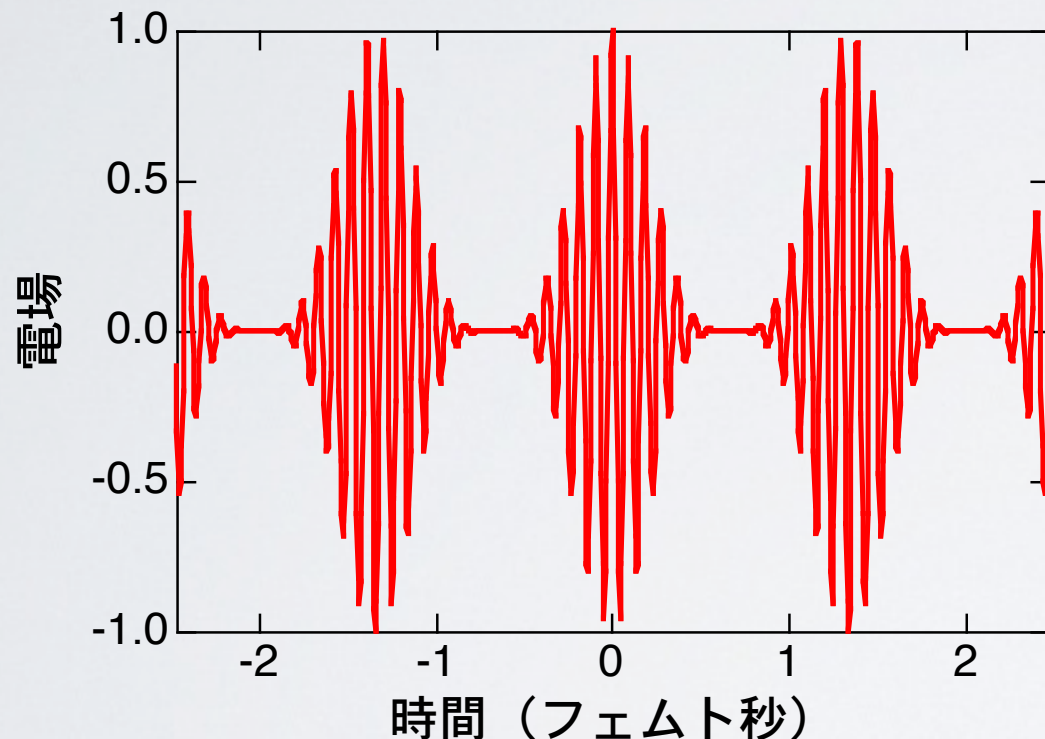


連続波（パルスではない）

Continuous wave (no pulse)

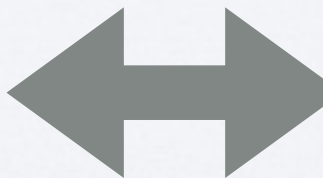
複数の次数（奇数次）が混在するときの光電界

$$E_h(t) = \sum_q E_q \cos(q\omega + \phi_q) = \sum_q E_{2n+1} \cos[(2n+1)\omega + \phi_{2n+1}]$$



- アト秒パルス列になっている。
- パルスの間隔は、基本波の半周期
- 隣り合うパルスは位相が反転

等間隔の周波数成分



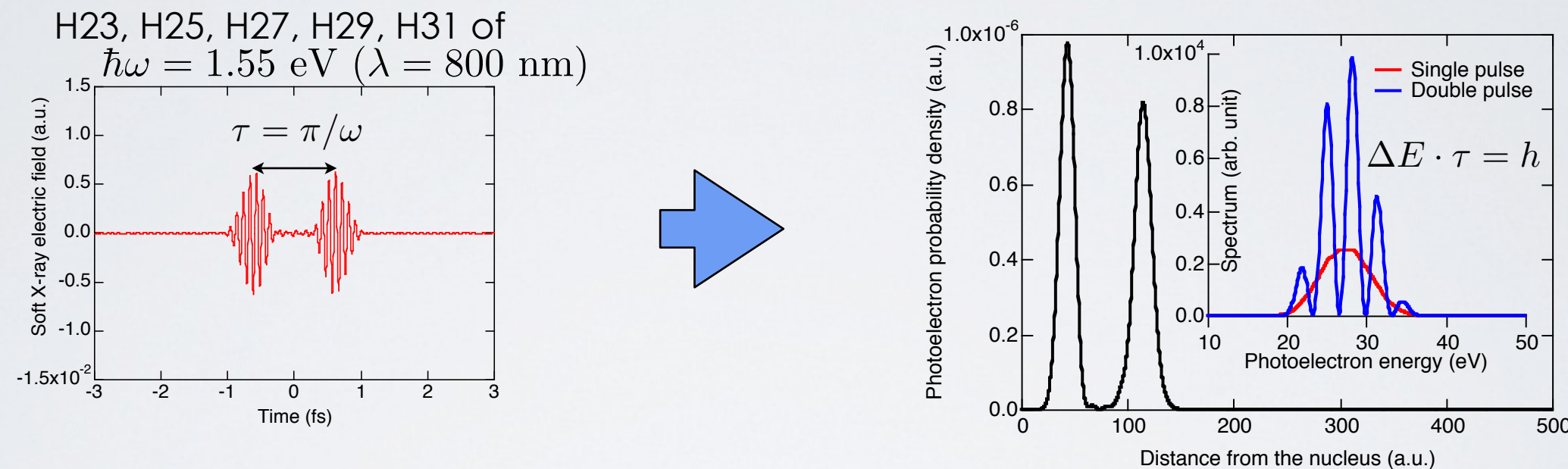
等間隔のパルス列

高次高調波の奇数次のみを含む離散的なピークは、二通りに解釈できる。

- 光子エネルギーの整数倍 + 反転対称性
- 基本波の半サイクルごとの光放出

一定の時間間隔で放出される電子波束のエネルギースペクトルは離散的になる

- ・トンネル電離
- ・アト秒パルス列に（1光子）イオン化された電子

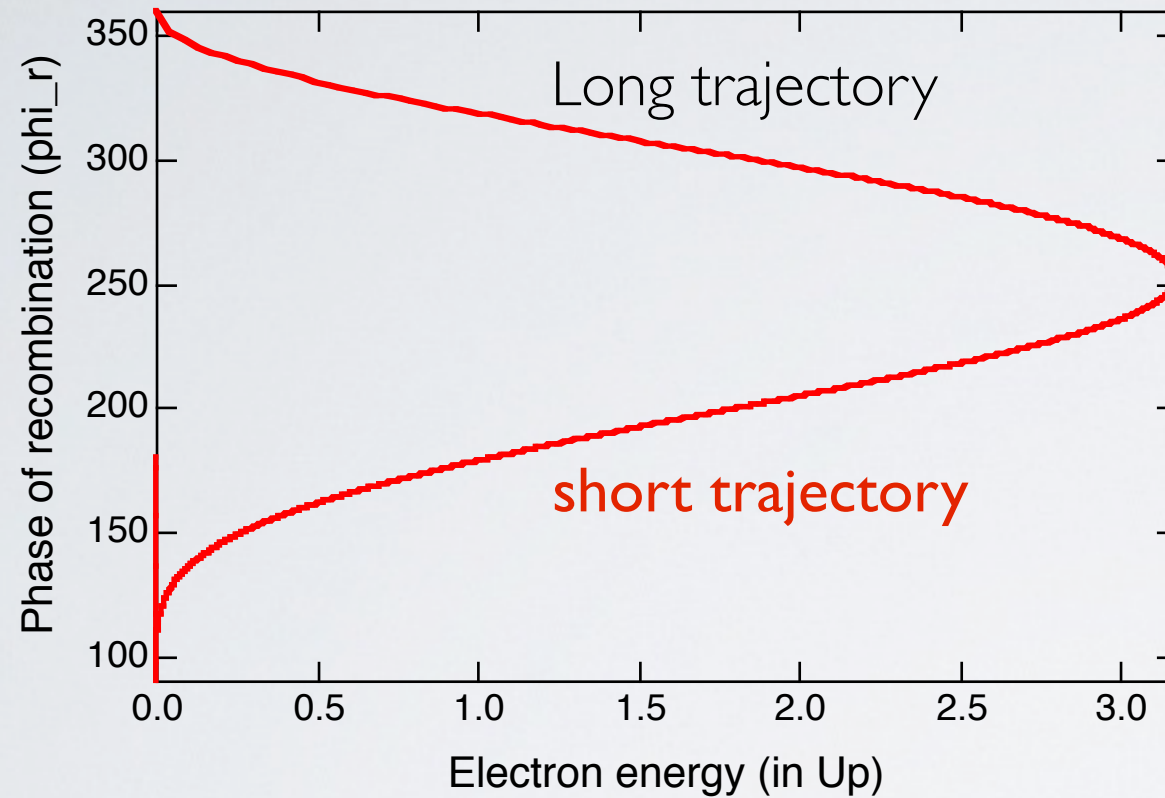


光パルス（アト秒ダブルパルス）のスペクトルが離散的

2つの電子波束が空間的に重なることによる干渉

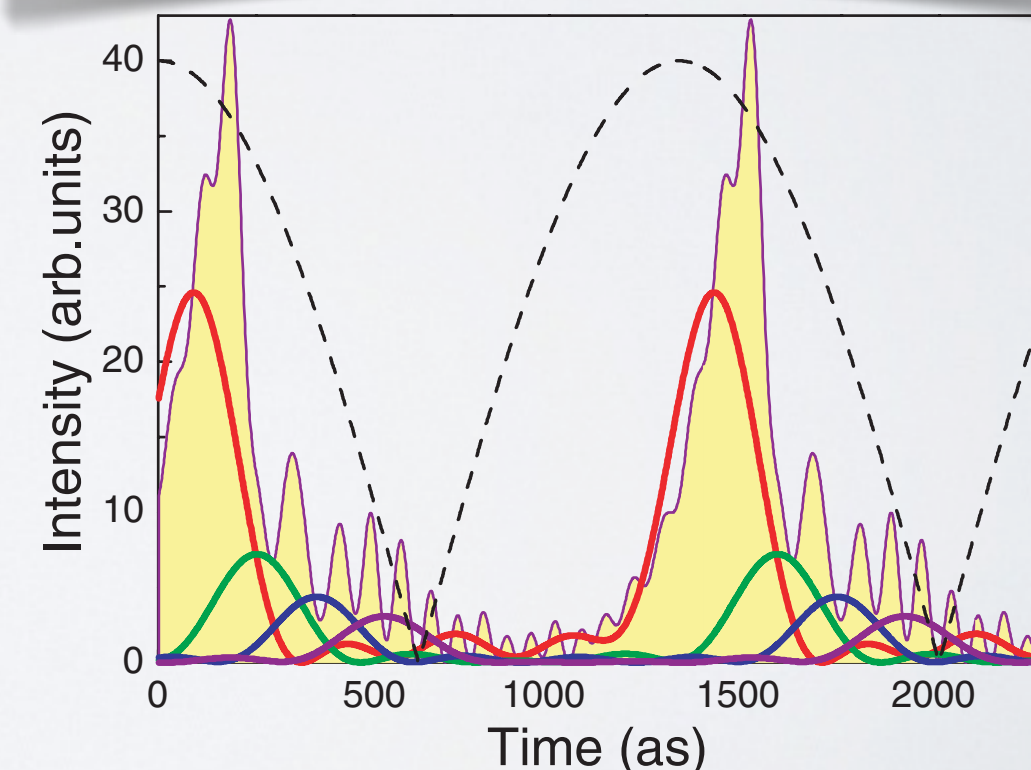
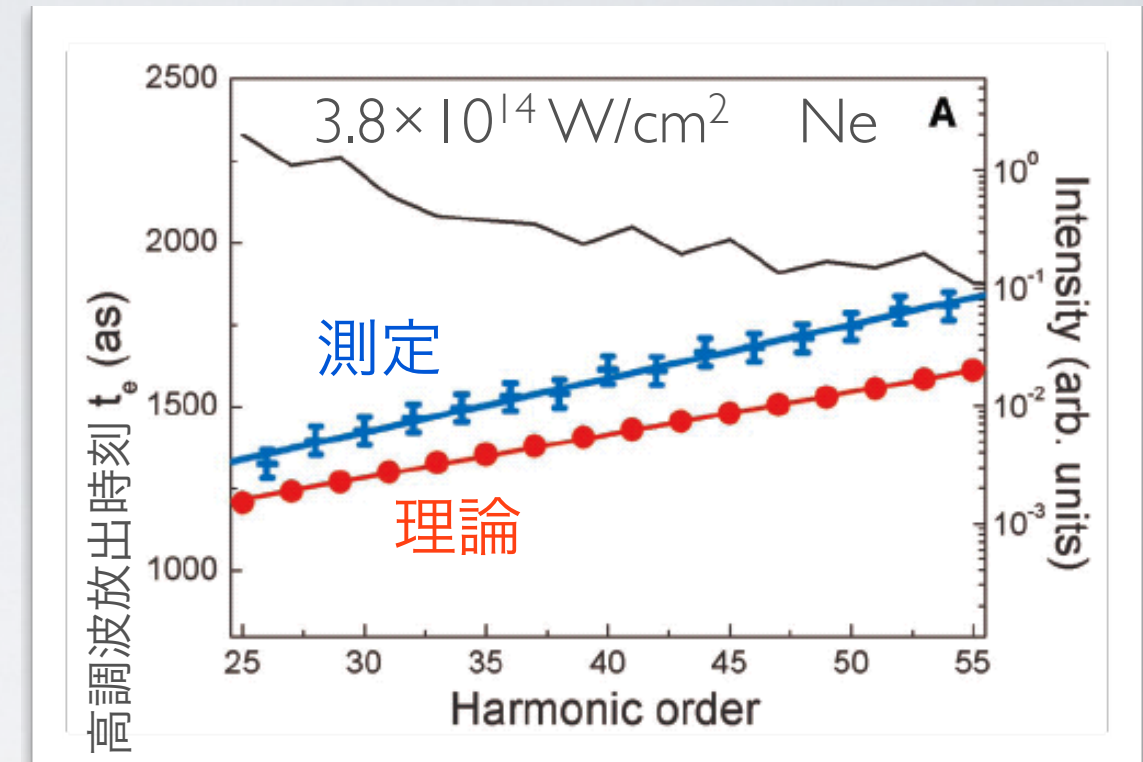
どちらのパルスにイオン化されたか分からないことによる干渉縞（ヤングのダブルスリットの時間版）

次数によって高調波の発生時刻が異なる



ショートトラジェクトリーの場合
低次が先に高次が後で発生する。

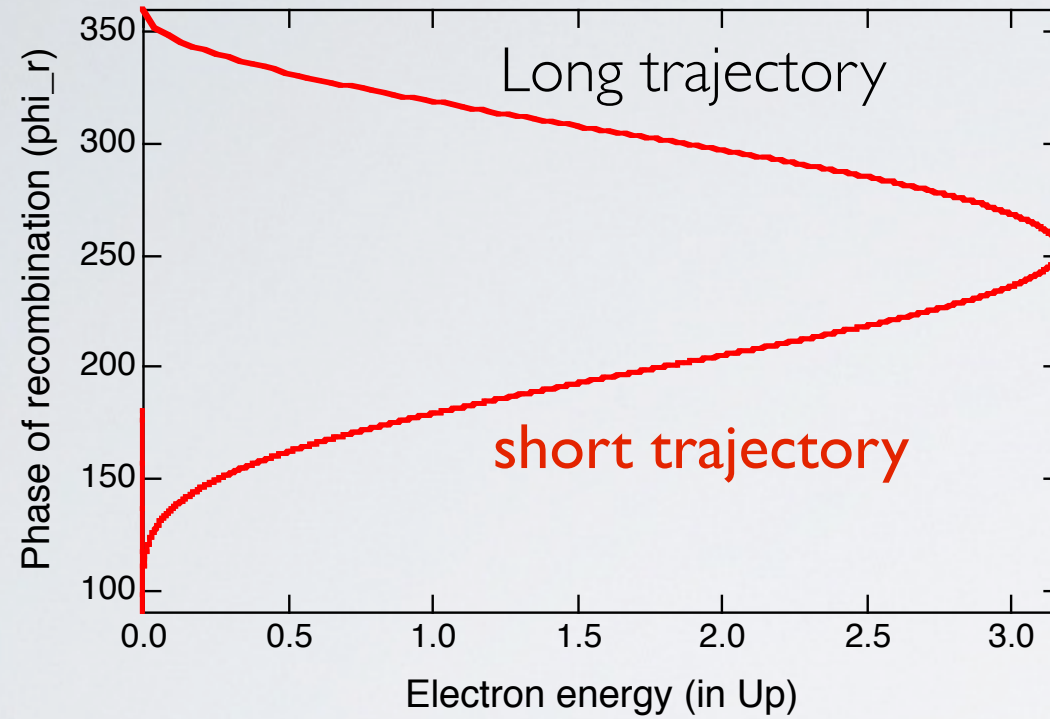
→ ポジティブチャープ



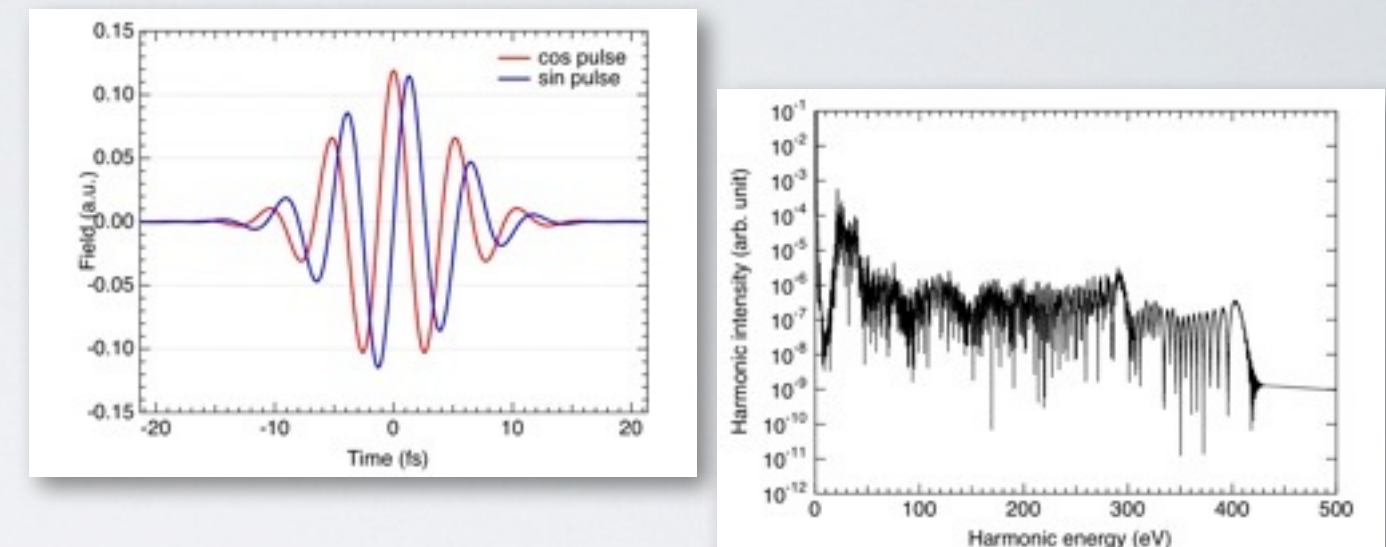
Mairesse et al., Science 302, 1540 (2003)
Varju et al., J. Mod. Opt. 52, 379 (2005)

石川顕一

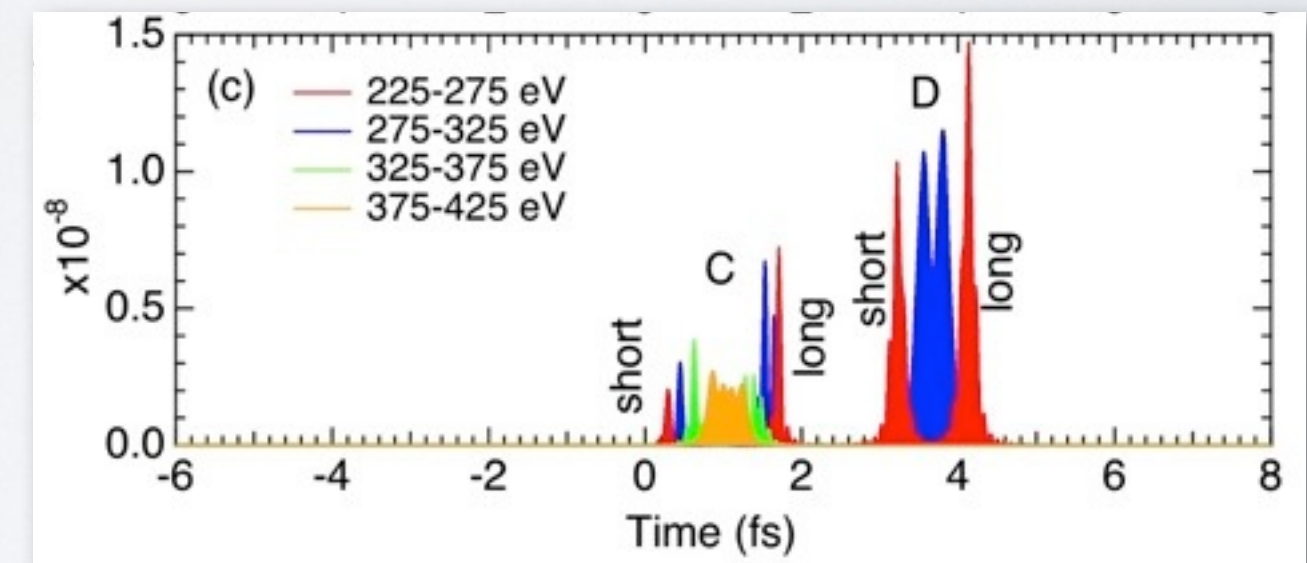
次数によって高調波の発生時刻が異なる



TDSEシミュレーション

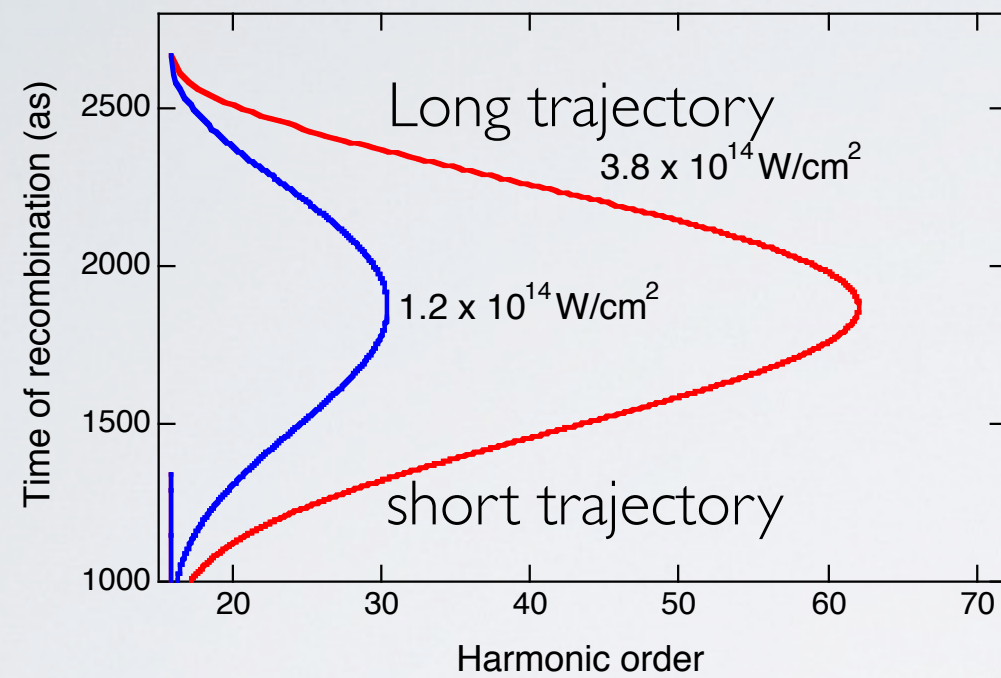


ショートトラジェクトリーの場合
→ **ポジティブチャープ**
ロングトラジェクトリーの場合
→ **ネガティブチャープ**



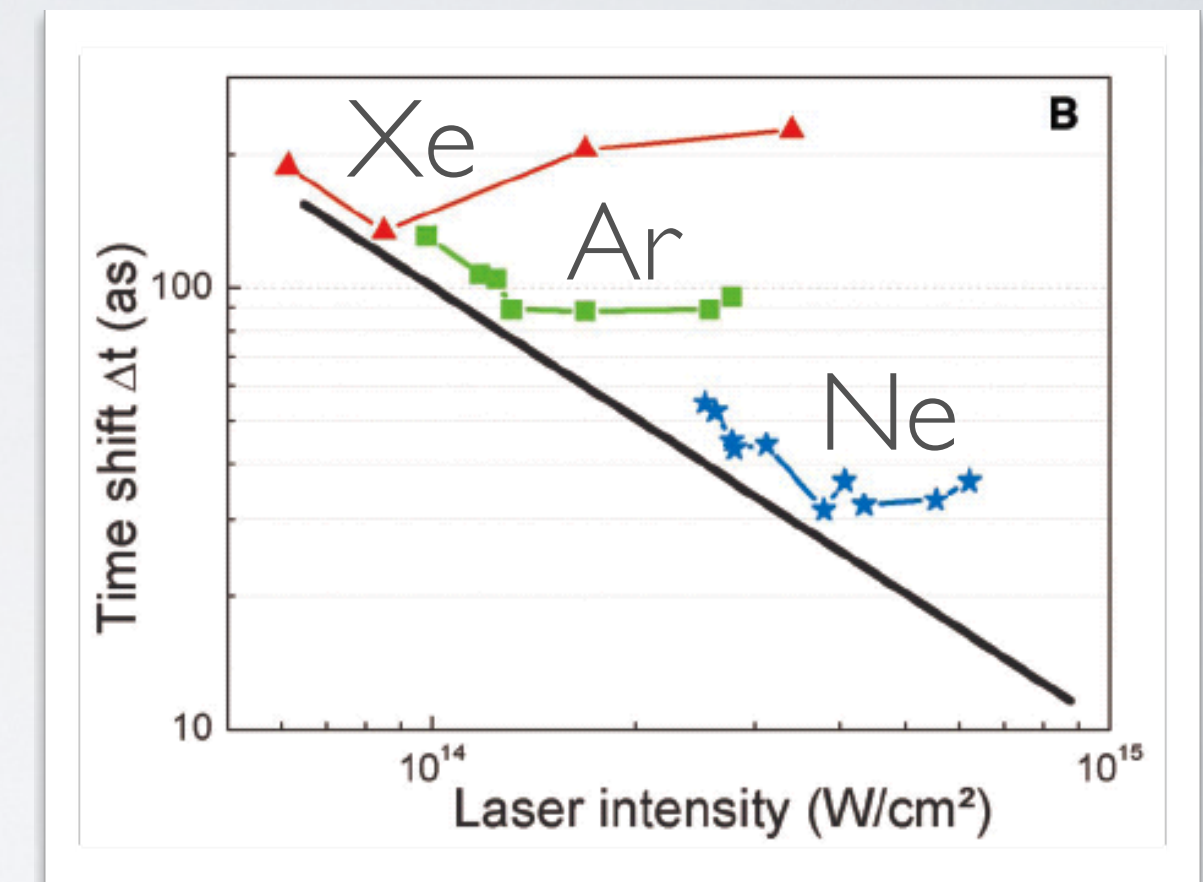
K. L. Ishikawa, "High-harmonic generation" in Advances in Solid-State Lasers, ed. by M. Grishin (INTECH, 2010) 439-464

強度によって高調波の発生時刻が異なる



ショートトラジェクトリーの場合

次数が同じなら、高強度の時
の方が、早く発生する



Mairesse et al., Science 302, 1540 (2003)

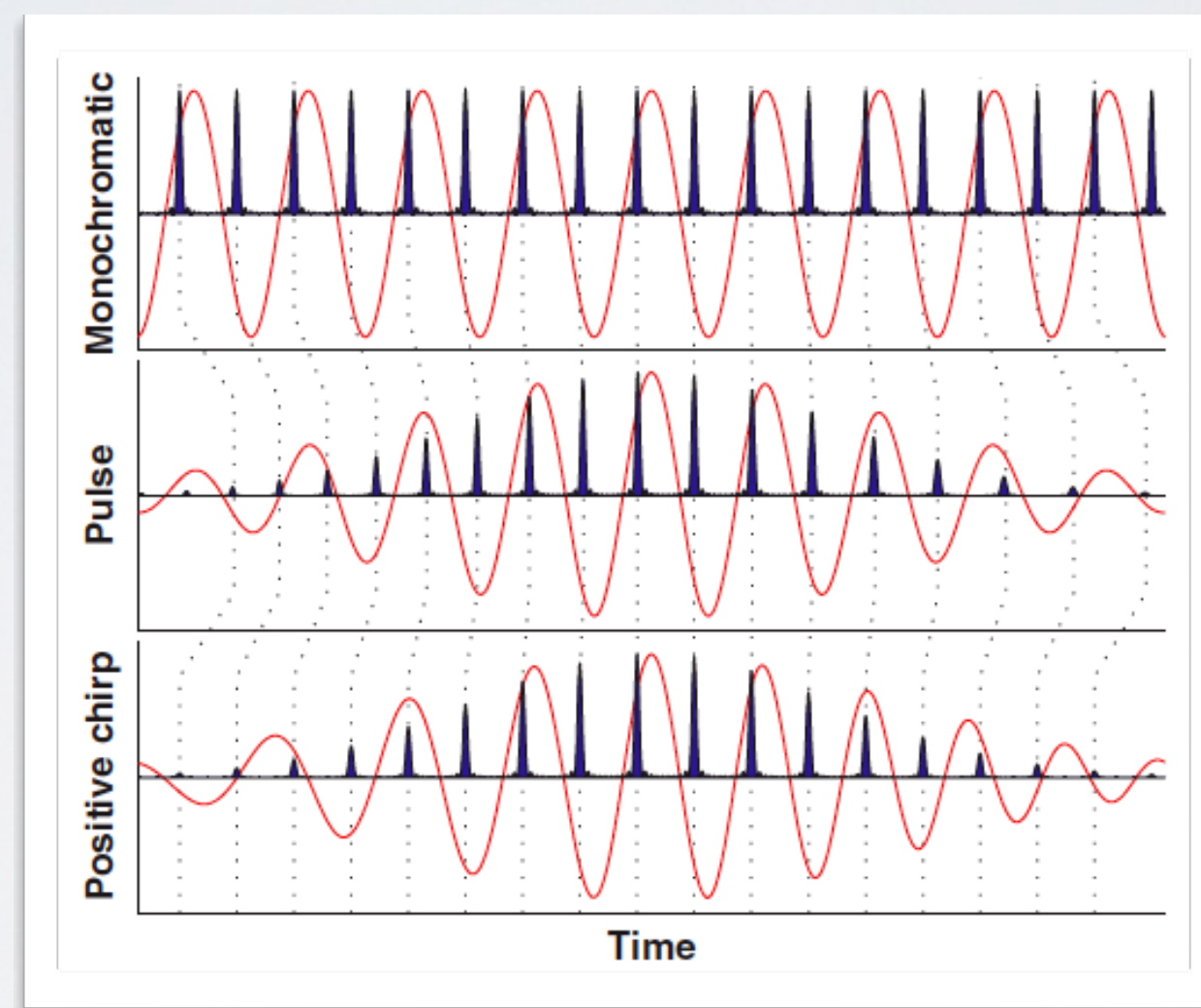
同じ次数でも、強度によって発生時刻が異なる。

次数が同じなら、高強度の時の方が、早く発生する

強度上昇時は発生間隔が短い（ブルーシフト）

強度下降時は発生間隔が長い（レッドシフト）

→ ネガティブチャープ



Varju et al., J. Mod. Opt. 52, 379 (2005)

高調波のチャープのまとめ

- ・ **異なる次数間** → **ポジティブチャープ**
- ・ **1つの次数の中** → **ネガティブチャープ**

本来量子力学的なこれらの現象（実験的にも観測されている）が、シンプルな3ステップモデルで説明できる。

高次高調波発生の量子論

Lewensteinモデル

Lewenstein et al., Phys. Rev. A 49, 2117 (1994)

高強度場近似

Strong-field approximation (SFA)

- 励起状態の寄与を無視 The contribution of all the excited bound states can be neglected.
- 連続状態に対する原子のポテンシャルの効果を無視
(連続状態を平面波で近似) The effect of the atomic potential on the motion of the continuum electron can be neglected.
- 基底状態の減少を無視 The depletion of the ground state can be neglected.

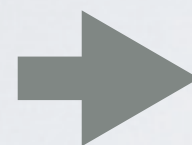
$$i \frac{\partial \psi(\mathbf{r}, t)}{\partial t} = \left[-\frac{1}{2} \nabla^2 + V(\mathbf{r}) + zE(t) \right] \psi(\mathbf{r}, t)$$

双極子モーメント

Time-dependent dipole moment

$$= i \int_{-\infty}^t dt' \int d^3\mathbf{p} \langle \varphi(\mathbf{r}) e^{iI_p t} | z | \mathbf{p} + \mathbf{A}(t) \rangle \exp \left[-i \int_{t'}^t dt'' \left(\frac{[\mathbf{p} + \mathbf{A}(t'')]^2}{2} \right) \right] \langle \mathbf{p} + \mathbf{A}(t') | z E(t') | \varphi(\mathbf{r}) e^{iI_p t'} \rangle + \text{c.c.}$$

3ステップ
モデル



再結合

レーザー場中での運動

イオン化

$$= i \int_{-\infty}^t dt' \int d^3\mathbf{p} \langle \varphi(\mathbf{r}) e^{iI_p t} | z | \mathbf{p} + \mathbf{A}(t) \rangle \exp \left[-i \int_{t'}^t dt'' \left(\frac{[\mathbf{p} + \mathbf{A}(t'')]^2}{2} \right) \right] \langle \mathbf{p} + \mathbf{A}(t') | z E(t') | \varphi(\mathbf{r}) e^{iI_p t'} \rangle + \text{c.c.}$$

再衝突電子波束と基底状態と
の間の双極子モーメント

再衝突電子波束

イオン化

$$\rightarrow x(t) = i \int_{-\infty}^t dt' \int d^3\mathbf{p} d^*(\mathbf{p} + \mathbf{A}(t)) \cdot \exp[-iS(\mathbf{p}, t, t')] \cdot E(t') d(\mathbf{p} + \mathbf{A}(t')) + \text{c.c.}$$

transition dipole

遷移双極子行列要素

半古典的作用積分
semiclassical action

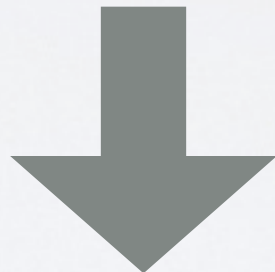
$$S(\mathbf{p}, t, t') = \int_{t'}^t dt'' \left(\frac{[\mathbf{p} + \mathbf{A}(t'')]^2}{2} + I_p \right)$$

高調波スペクトル=双極子モーメントのフーリエ変換

$$\hat{x}(\omega_h) = i \int_{-\infty}^{\infty} dt \int_{-\infty}^t dt' \int d^3\mathbf{p} d^*(\mathbf{p} + \mathbf{A}(t)) \cdot \exp[i\omega_h t - iS(\mathbf{p}, t, t')] \cdot E(t') d(\mathbf{p} + \mathbf{A}(t')) + \text{c.c.}$$

5重積分

five-dimensional integral



鞍点解析

saddle-point analysis

cf. 経路積分

鞍点解析

saddle-point analysis (SPA)

Saddle-point equations

解 → ト ラ ジ ェ ク ト リ ー trajectory

$$\frac{[p + A(t')]^2}{2} = -I_p$$

トンネル電離

t' イオン化時刻
 t 再結合時刻

$$\int_{t'}^t [p + A(t'')] dt'' = 0$$

イオン化と再結合の位置が同じ

$$\frac{[p + A(t)]^2}{2} + I_p = \omega_h$$

高調波の光子エネルギー
= 再結合時の運動エネルギー
+ イオン化ポテンシャル

$$\hat{x}(\omega_h) = \sum_s \left(\frac{\pi}{\epsilon + \frac{i}{2}(t_s - t'_s)} \right)^{3/2} \frac{i2\pi}{\sqrt{\det S''(t, t')|_s}} d^*(p_s + A(t_s)) \\ \times \exp[i\omega_h t_s - iS(p_s, t_s, t'_s)] E(t'_s) d(p_s + A(t'_s)),$$

- 3ステップモデルに物理的に対応

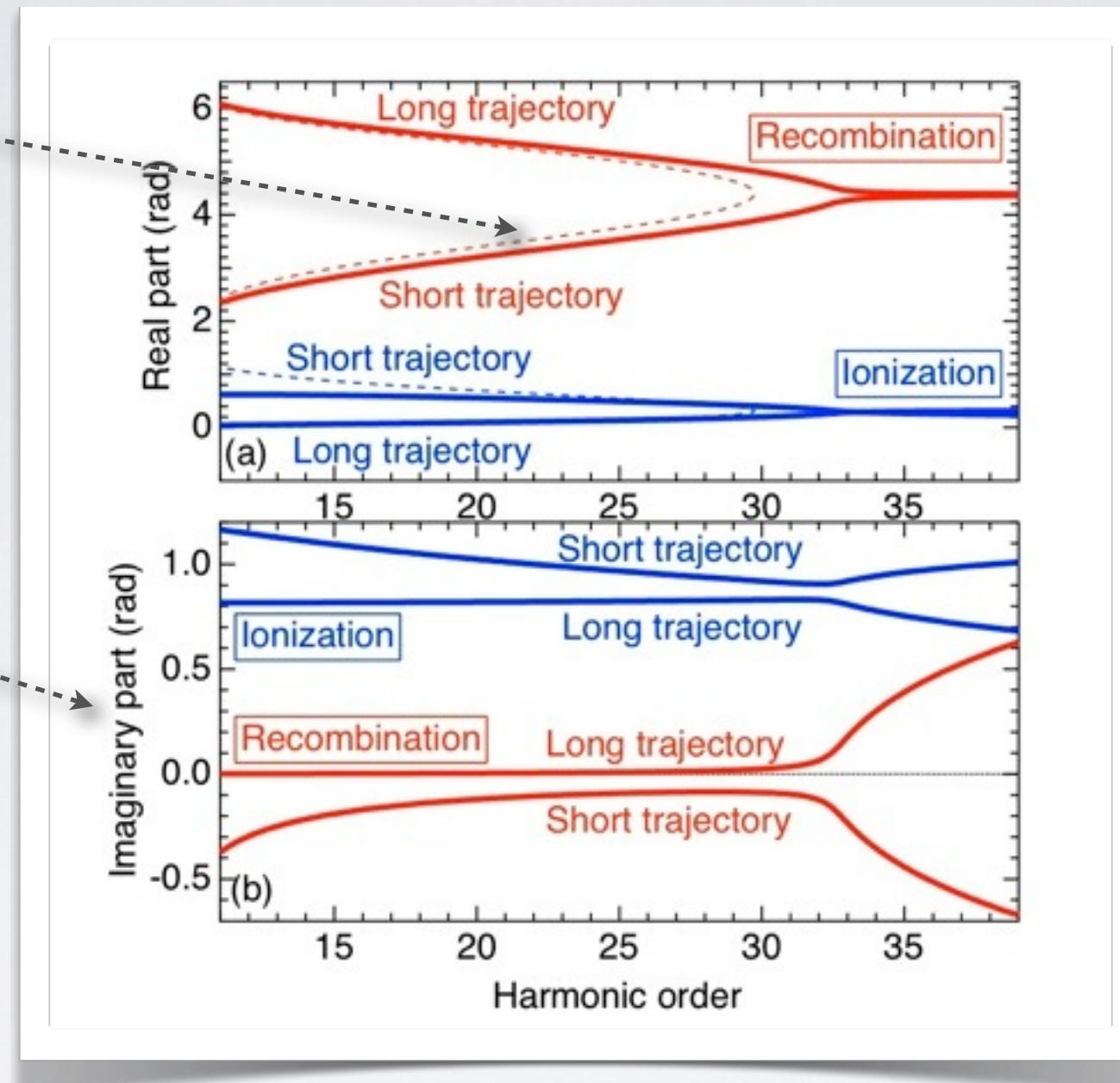
鞍点解の例

$$E(t) = E_0 \cos \omega t \quad \text{Ar } (I_p = 15.7596 \text{ eV}) \quad 1.6 \times 10^{14} \text{ W/cm}^2$$

$\phi' = \omega t'$ $\phi = \omega t$ の実部（上）と虚部（下）

破線は3ステップモデルの解

「トンネル時間」
に対応すると解釈
されている



カットオフ

$$E_c = 3.17U_p + gI_p \quad (g \approx 1.3)$$

- 3ステップモデルは、量子力学的なLewensteinモデルのよい近似になっている。→ 3ステップモデルの成功の理由

attosecond pulse train (APT)

アト秒パルス列

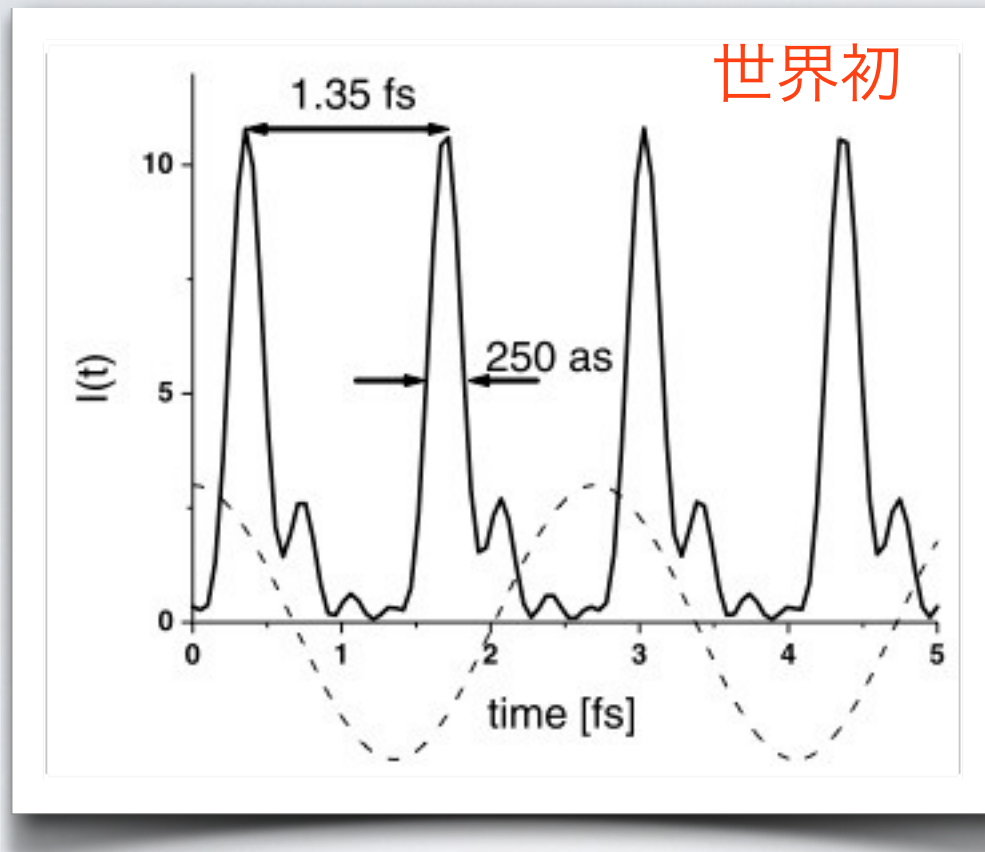
と

単独アト秒パルス

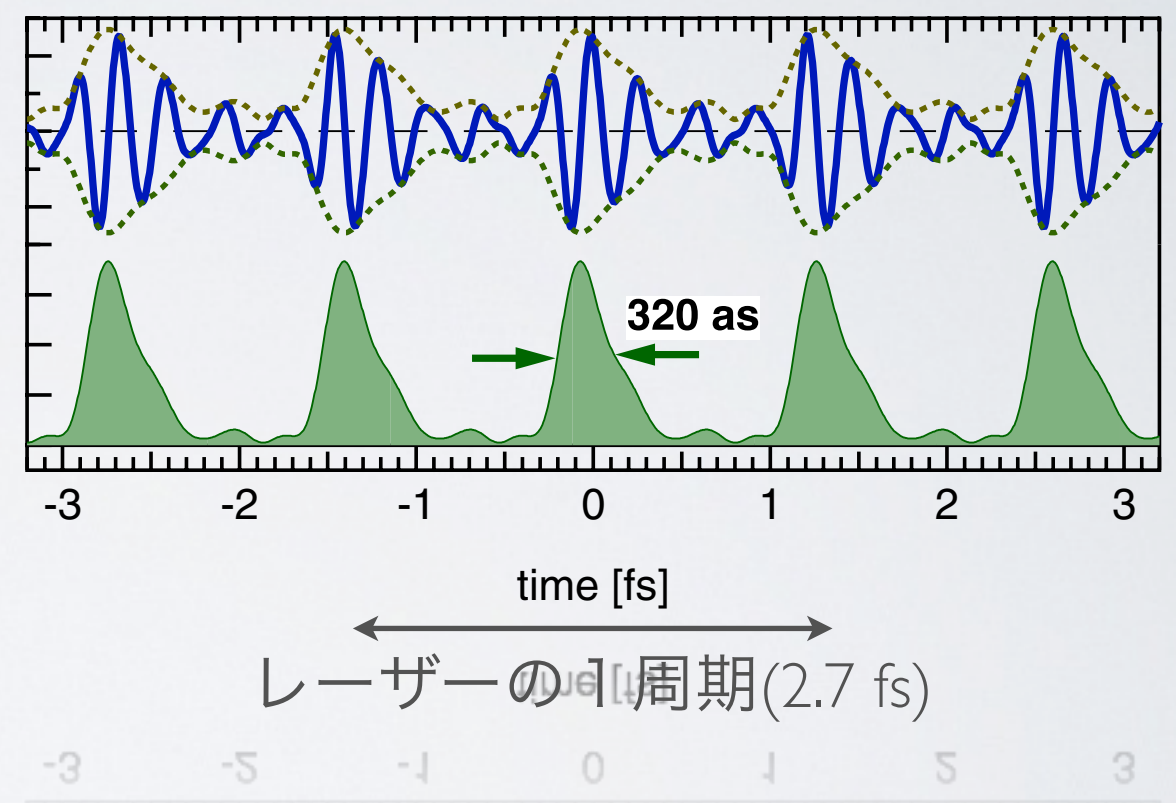
isolated attosecond pulse (IAP)

高次高調波は、基本波レーザーの半周期ごとにアト秒のバーストとして発生する（アト秒パルス列）

Paul et al., Science 292, 1689 (2001)



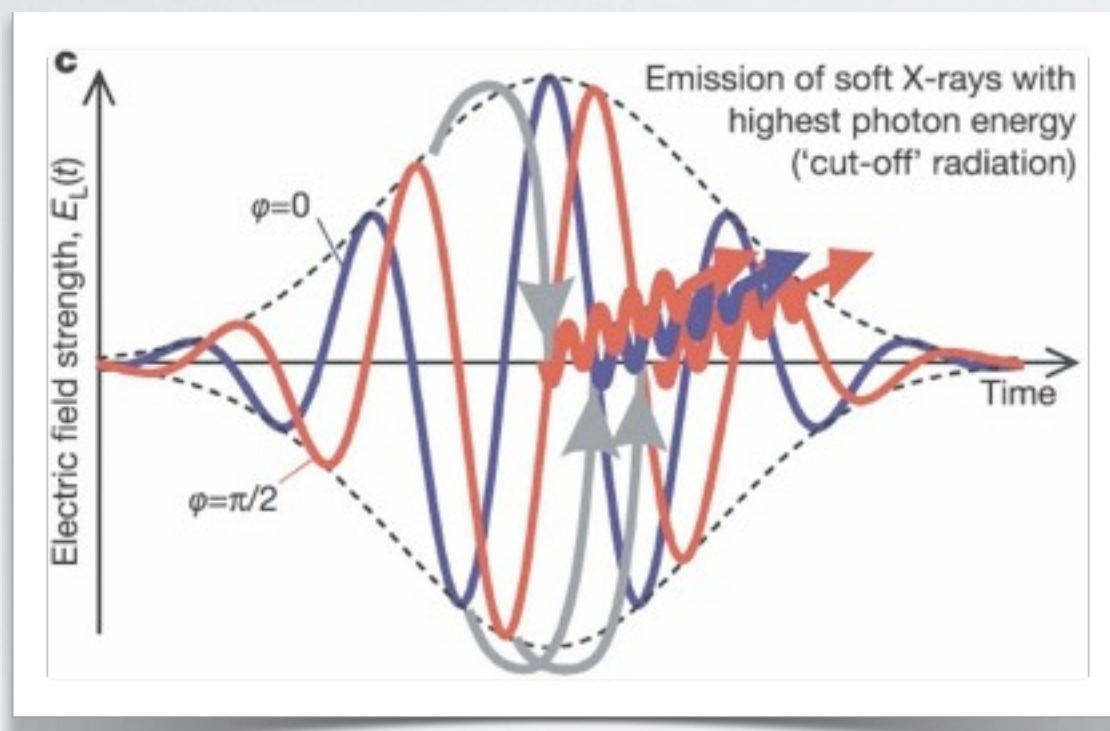
Nabekawa et al., Phys. Rev. Lett. 97, 153904 (2006)



超短パルスレーザーを用い、1回だけバーストが発生するようすれば、単独パルスになる。

単独アト秒パルス

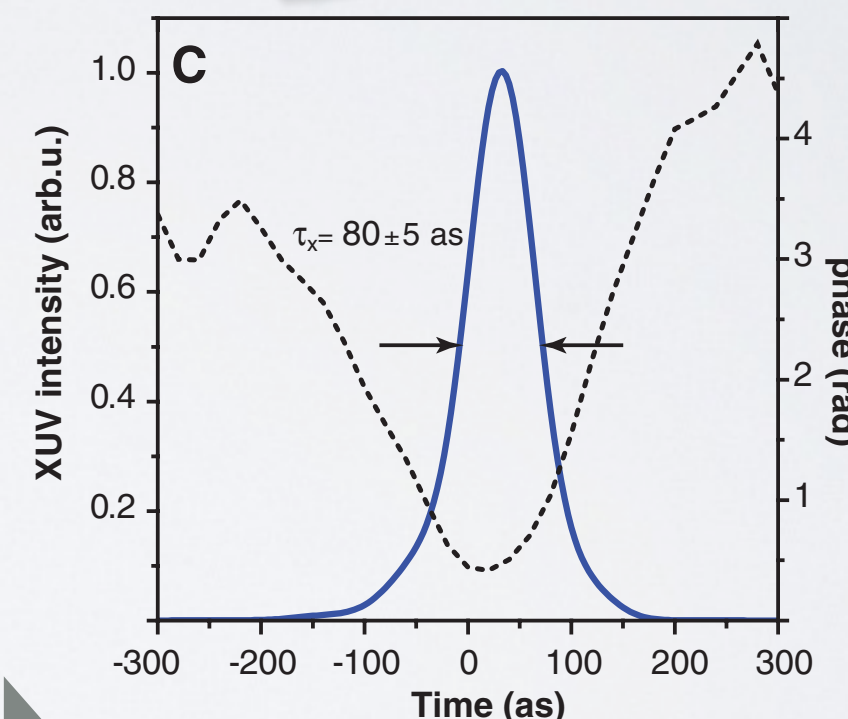
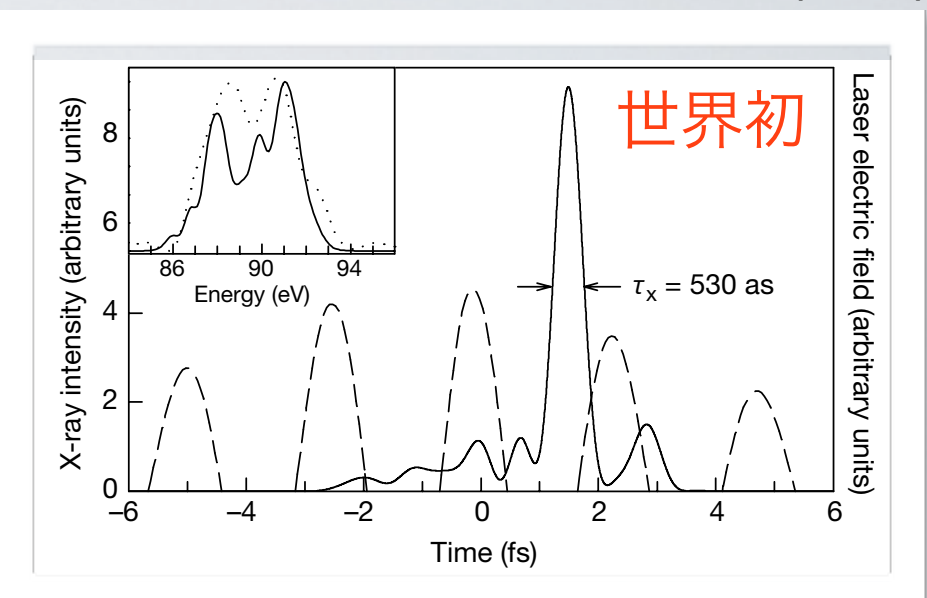
Baltuska et al. Nature 421, 611 (2003)



Light emission takes place
only once.

光の放出は 1 回だけ

Hentschel et al. Nature 414, 509 (2001)

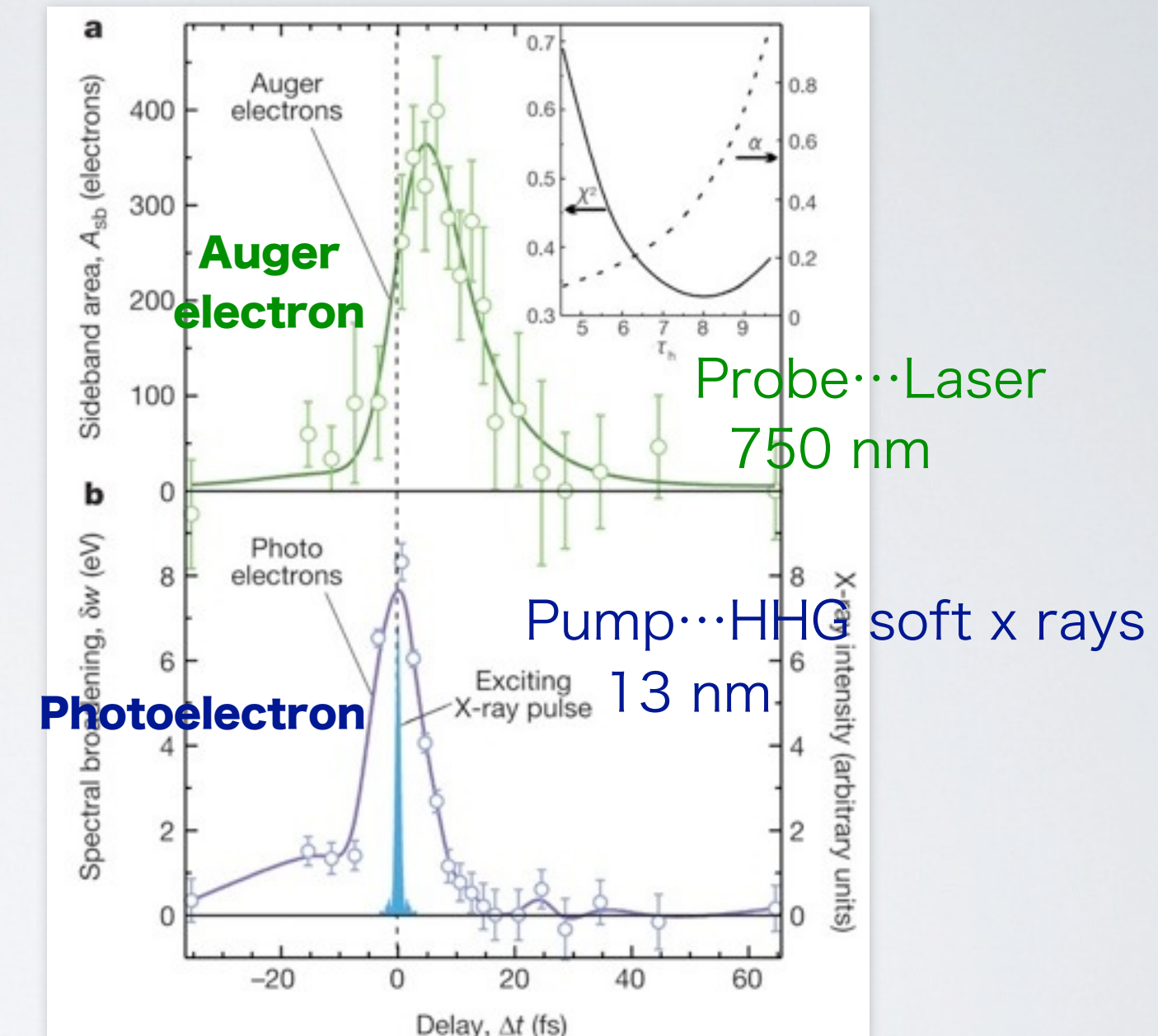
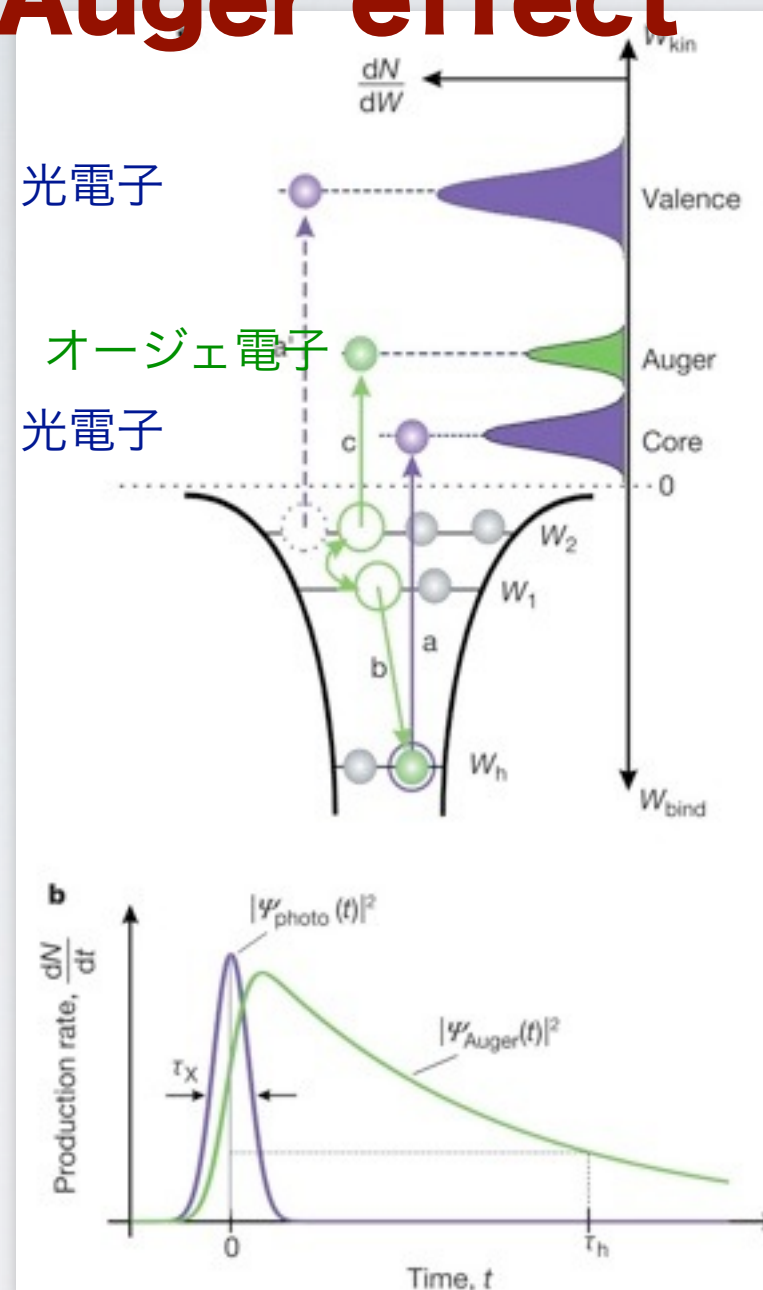


Goulielmakis et
al. Science 320,
1614 (2008)

Attosecond (10^{-18} sec) pulse
アト秒パルス

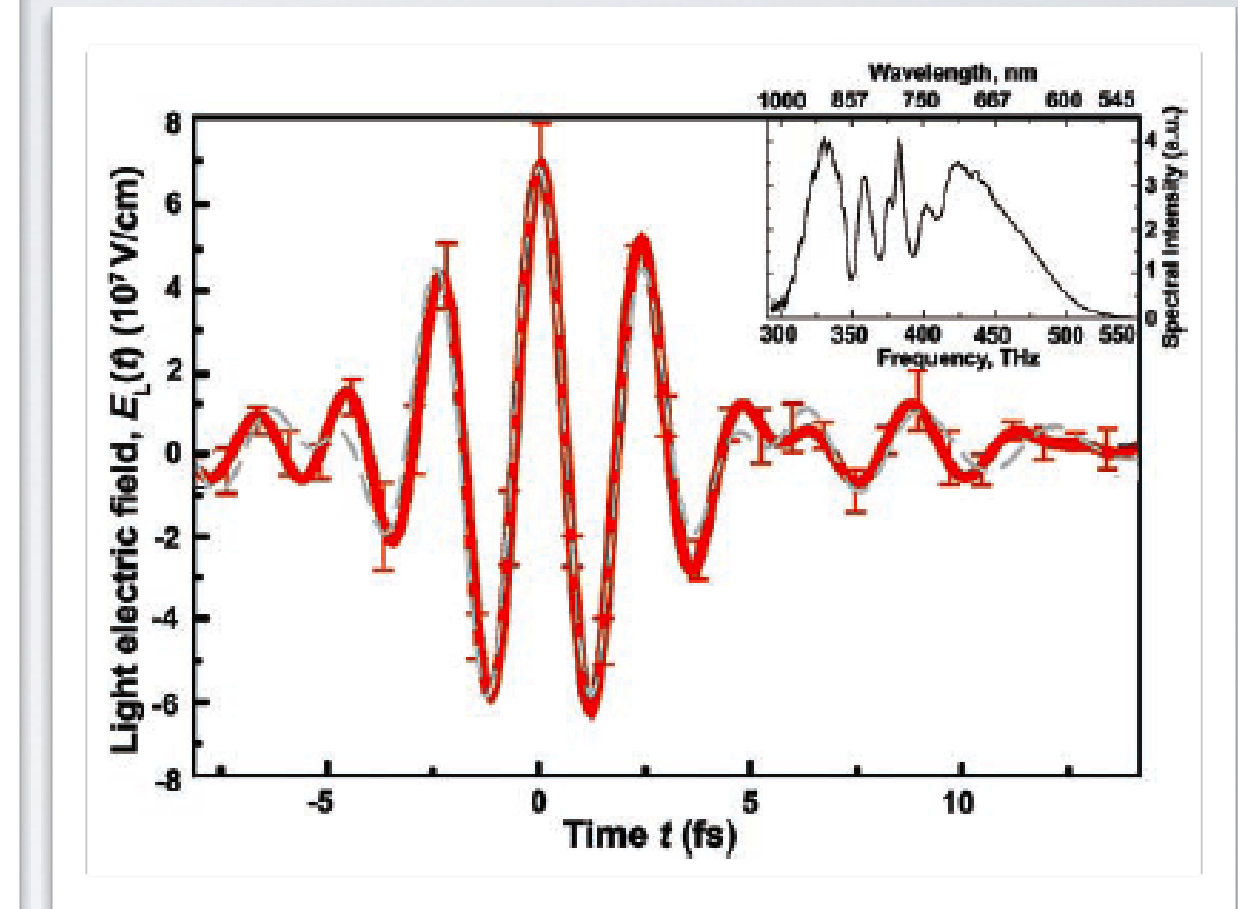
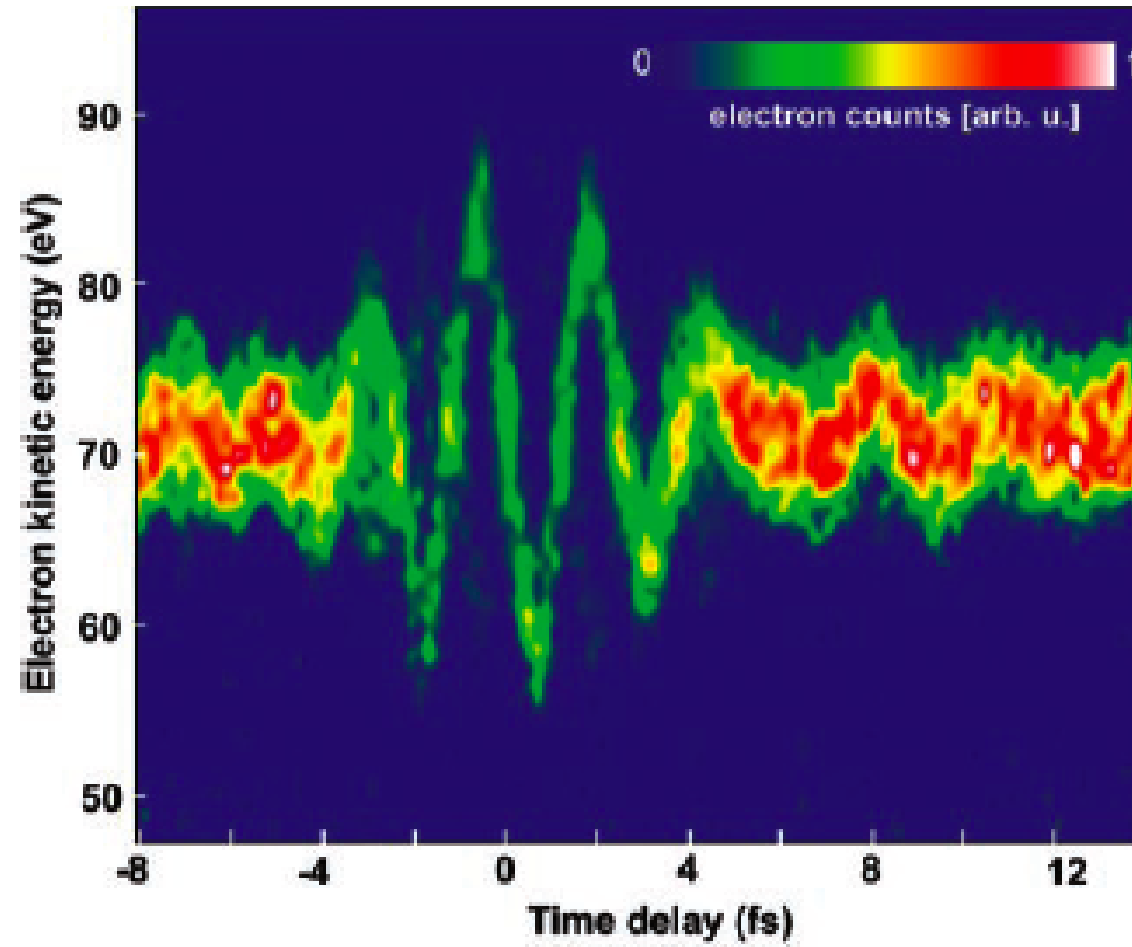
時間分解オージェ電子分光

Auger effect



数フェムト秒程度の超高速過程が見える！
Ultrafast process ~ a few fs

DIRECT MEASUREMENT OF LIGHT WAVES



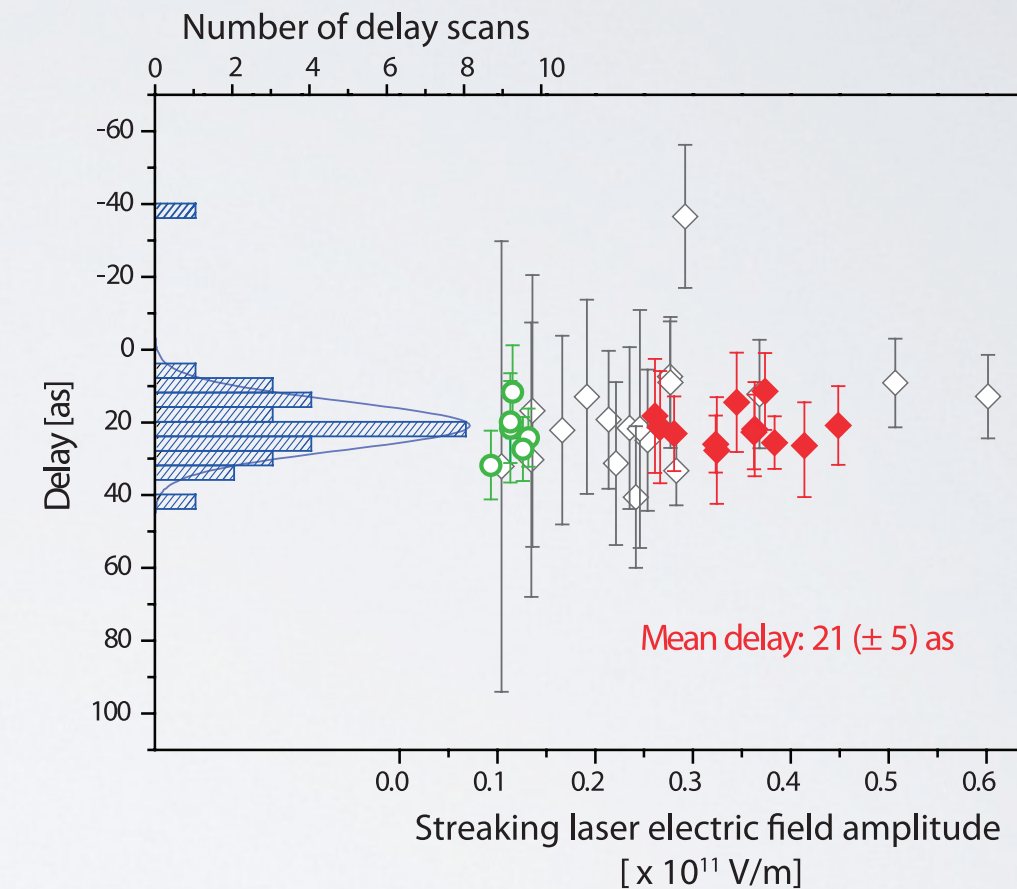
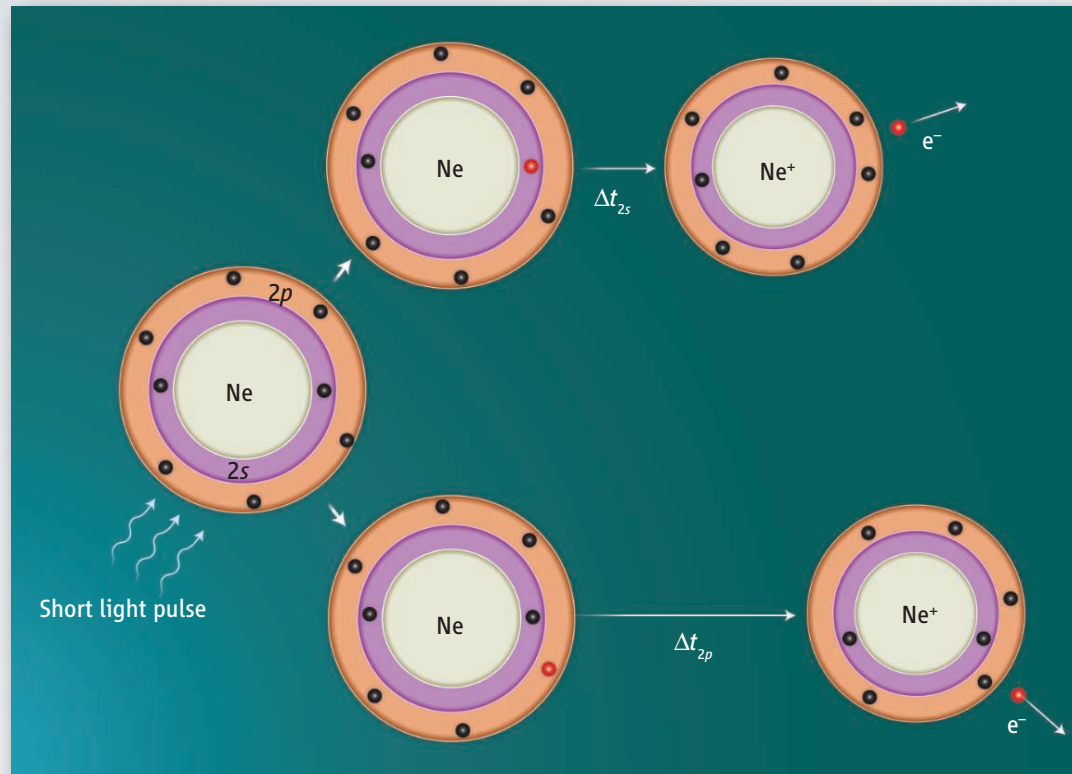
- 光の電界の直接測定に初めて成功！→光が「電磁波」であることの直接的な証明

Direct proof of the wave nature of light

E. Goulielmakis et al., Science 305, 1267 (2004).

DELAY IN PHOTOEMISSION WHEN DOES PHOTOEMISSION BEGIN?

The photoelectric effect is usually considered instantaneous. But ...



The 2s electron appears to come out 21 attoseconds earlier than the 2p electron!

- Eisenbud–Wigner–Smith time delay
- Continuum-continuum phase shift
- Core rearrangement ??

まとめ

- ・ 時間領域で考えよう！
- ・ 時間依存で考えよう！

チャレンジ
放射場を量子化して、高強度
場現象（トンネル電離、高次
高調波発生）を定式化するに
は、どうすればいいか？